

**TECHNICKÁ UNIVERZITA V LIBERCI**  
**FAKULTA STROJNÍ**  
**Katedra vozidel a motorů**



**Variabilní zavazadlový prostor**

**Variable luggage compartment of automobile**

**DIPLOMOVÁ PRÁCE**

**Jiří Skřivan**

Leden 2010

**TECHNICKÁ UNIVERZITA V LIBERCI**  
**FAKULTA STROJNÍ**  
**Katedra vozidel a motorů**



Obor 2302T010

Konstrukce strojů a zařízení

Zaměření

Kolové dopravní a manipulační stroje

**Variabilní zavazadlový prostor**

**Variable luggage compartment of automobile**

Diplomová práce

KVM – DP – 605

Jiří Skřivan

Vedoucí diplomové práce: Doc. Ing. Miroslav Malý, CSc.  
Konzultant diplomové práce: Ing. Radek Bulíček

Počet stran: 54  
Počet obrázků: 70  
Počet přloh: 14

Leden 2010

## Originální zadání

# Variabilní zavazadlový prostor

## Anotace

Tato práce se zabývá variabilitou zavazadlového prostoru. Je zde provedeno porovnání stávajících konstrukčních prvků s ohledem na jejich funkci. Dále je proveden návrh modifikace zavazadlového prostoru vozu střední třídy s polohovatelnou plošinou a teleskopickými tyčemi.

Cílem je vyhotovení podkladů pro firmu Swell, spol. s r.o. případné aplikace návrhu v konstrukci zavazadlového prostoru vozu Škoda Octavia II Combi.

## Annotation

This diploma thesis is concerned with variable luggage compartment. The thesis compares current design elements with regards their functions. In addition there is created proposal of modification of luggage compartment of middle class automobile with adjustable flat and telescopic rods.

The aim of the work is to establish supplementary materials for application of the design of luggage compartment of the Skoda Octavia II Combi car line for Swell company.

Desetinné třídění:

Zpracovatel:

Dokončeno :

Archivní označení zprávy:

TU v Liberci, Fakulta strojní, Katedra vozidel a motorů  
2010

## Prohlášení k využívání výsledků diplomové práce

Byl(a) jsem seznámen(a) s tím, že na mou diplomovou práci se plně vztahuje zákon č. 121/2000 Sb. o právu autorském, zejména § 60 – školní dílo.

Beru na vědomí, že technická univerzita v Liberci (TUL) nezasahuje do mých autorských práv užitím mé diplomové práce pro vnitřní potřebu TUL.

Užiji-li diplomovou práci nebo poskytnu-li licenci k jejímu využití, jsem si vědom(a) povinnosti informovat o této skutečnosti TUL; v tomto případě má TUL právo ode mne požadovat úhradu nákladů, které vynaložila na vytvoření díla, až do jejich skutečné výše.

Diplomovou práci jsem vypracoval(a) samostatně s použitím uvedené literatury a na základě konzultací s vedoucím diplomové práce a konzultantem.

V ..... dne .....

.....  
podpis

## Poděkování

Na tomto místě bych rád poděkoval firmě Swell, spol s r.o., že mi bylo umožněno řešení zadané diplomové práce. Jmenovitě bych rád poděkoval panu Ing. Radku Bulíčkovi za jeho věcné připomínky.

Dále bych rád poděkoval vedoucímu moji diplomové práce panu doc. Ing. Miroslavu Malému, CSc. za jeho rady při vypracování.

Hlavní poděkování patří mé rodině za podporu v průběhu studia.

---

## Seznam symbolů a jednotek

$F_z$	zatěžující síla plošiny ve svislém směru	[N]
$F_y$	zatěžující síla plošiny ve vodorovném směru	[N]
$m$	hmotnost nákladu	[kg]
$g$	gravitační zrychlení	[m/s <sup>2</sup> ]
$F_1$ až $F_4$	zatěžující síly v jednotlivých horních patkách	[N]
$a$	délka poloviny ramene	[mm]
$\alpha$	úhel naklonění ramena	[°]
$l$	vzdálenost středu ramene od dolní patky ve vodorovném směru	[mm]
$b$	vzdálenost středu ramene od dolní patky ve svislém směru	[mm]
$R_{Ax}, R_{Ay}$	složky reakce přední dolní patky ve vodorovném a svislém směru	[N]
$R_{Bx}, R_{By}$	složky reakce zadní dolní patky ve vodorovném a svislém směru	[N]
$R_{Cx}, R_{Cy}$	složky reakce v místě křížení ramen ve vodorov. a svislém směru	[N]
$R_A, R_B, R_C$	reakce	[N]
$\beta$	odklonění reakce $R_A$ od nosníku	[°]
$\gamma$	odklonění reakce $R_C$ od nosníku	[°]
$R_{1Ax}, R_{1Ay}$	složky reakce $R_A$ v kolmém a rovnoběžném směru na nosník	[N]
$R_{1Cx}, R_{1Cy}$	složky reakce $R_C$ v kolmém a rovnoběžném směru na nosník	[N]
$F_{2x}, F_{2y}$	složky síly $F_2$ v kolmém a rovnoběžném směru na nosník	[N]
$M_1, M_2$	momenty v myšlených řezech nosníku	[N.mm]
$x$	obecná vzdálenost	[mm]
$M_{o\max}$	maximální ohybový moment nosníku	[N.mm]
$W_o$	průřezový modul v ohybu nosníku	[mm <sup>3</sup> ]
$b$	vnější šířka profilu	[mm]
$h$	vnější výška profilu	[mm]
$b_1$	vnitřní šířka profilu	[mm]
$h_1$	vnitřní výška profilu	[mm]
$\sigma_o$	napětí v ohybu nosníku	[MPa]
$\sigma_{D0}$	dovolené napětí v ohybu	[MPa]
$k_1$	bezpečnost nosníku v ohybu	[-]
$l_1$	délka čepu v místě dotyku s patkou	[mm]
$l_2$	délka čepu v místě dotyku s jednou stranou vidlice	[mm]
$d$	průměr čepu	[mm]
$M_{o\max}$	maximální ohybový moment čepu	[N.mm]
$W_{o\epsilon}$	průřezový modul v ohybu čepu	[mm <sup>3</sup> ]
$\sigma_{o\epsilon}$	ohybové napětí v čepu	[MPa]
$k_2$	bezpečnost čepu v ohybu	[-]
$p_1$	tlak ve stykové ploše čepu a patky	[MPa]
$p_2$	tlak ve stykové ploše čepu a vidlice	[MPa]
$R_{mp}$	pevnost v tlaku	[MPa]
$\sigma_{Dp}$	dovolené napětí v tlaku	[MPa]
$k_3$	bezpečnost při působení tlaku $p_1$	[-]
$k_4$	bezpečnost při působení tlaku $p_2$	[-]
$\tau_{Ds}$	dovolené napětí ve smyku	[MPa]
$\tau_s$	napětí ve smyku u čepu	[MPa]
$k_4$	bezpečnost čepu ve smyku	[-]

---

$S$	plocha poloviny boční stěny náhradní nosné desky	[mm <sup>2</sup> ]
$p_y$	tlak působící na plochu $S$	[MPa]
$\sigma_e$	ekvivalentní napětí	[MPa]
$R_e$	mez kluzu	[MPa]
$k_5$	bezpečnost plošiny při zatížení boční silou	[-]
$x_1$	maximální posunutí plošiny při zatížení boční silou	[mm]
$x_2$	maximální posunutí nosné desky	[mm]
$k_6$	bezpečnost nosné desky	[-]
$v$	rychlosť vozidla	[km/h]
$t$	čas, za který dosáhne vozidlo rychlosť $v$	[s]
$a$	zrychlení vozidla	[m/s <sup>2</sup> ]
$F_x$	zatěžující síla teleskopických tyčí	[N]
$c$	délka nosného profilu teleskopických tyčí	[mm]
$b_4$	vnější šířka nosného profilu	[mm]
$b_3$	vnitřní šířka nosného profilu	[mm]
$h_4$	vnější výška nosného profilu	[mm]
$h_3$	vnitřní výška nosného profilu	[mm]
$M_{onmax}$	maximální ohybový moment nosného profilu	[N.mm]
$W_{on}$	průřezový ohybový modul nosného profilu	[mm <sup>3</sup> ]
$\sigma_{on}$	napětí v ohybu nosného profilu	[MPa]
$k_7$	bezpečnost nosného profilu v ohybu	[-]
$s$	výška nosné trubky	[mm]
$D$	vnější průměr nosné trubky	[mm]
$d_1$	vnitřní průměr nosné trubky	[mm]
$M_{ovmax}$	maximální ohybový moment nosné trubky	[N.mm]
$W_{ov}$	průřezový modul v ohybu nosné trubky	[mm <sup>3</sup> ]
$\sigma_{ov}$	napětí v ohybu u nosné trubky	[MPa]
$k_8$	bezpečnost nosné trubky v ohybu	[-]

---

---

## OBSAH

<b>1. Úvod.....</b>	<b>11</b>
<b>2. Zavazadlový prostor osobního automobilu.....</b>	<b>12</b>
2.1 Funkce zavazadlového prostoru.....	12
2.2 Stávající funkcionality v zavazadlovém prostoru.....	14
2.2.1 Sít'.....	14
2.2.2 Příhrádky.....	15
2.2.3 Dvojité dno.....	15
2.2.4 Uchycení jízdních kol.....	16
2.2.5 Výsuvná podlaha zavazadlového prostoru.....	16
2.2.6 Přenosná taška.....	17
2.2.7 Campingový stolek.....	17
2.2.8 Zvětšení zavazadlového prostoru.....	18
2.2.9 Otvor v opěradlech zadních sedadel.....	18
2.2.10 Teleskopický systém.....	19
2.2.11 Uložení autolékárničky.....	19
2.2.12 Další funkcionality v zavazadlovém prostoru.....	20
<b>3. Návrh modifikace zavazadlového prostoru s polohovatelnou plošinou.....</b>	<b>21</b>
3.1 Základní popis.....	21
3.2 Základní geometrie plošiny.....	22
3.3 Bližší popis hlavní varianty plošiny.....	23
3.3.1 Zadní horní patka.....	23
3.3.2 Přední horní patka.....	23
3.3.3 Zadní spodní patka.....	24
3.3.4 Přední spodní patka.....	24
3.3.5 Ramena.....	25
3.4 Kinematika pohybu.....	25
3.4.1 Znázornění pohybu madla a rohatky.....	26
3.5 Použité materiály.....	27

---

3.6	Výpočet nosných částí mechanizmu.....	29
3.6.1	Namáhání ramen.....	30
3.6.1.1	Výpočet reakcí.....	31
3.6.1.2	Maximální ohybový moment.....	33
3.6.1.3	Maximální napětí v ohybu.....	35
3.6.2	Výpočet čepu.....	36
3.6.2.1	Výpočet čepu na ohyb.....	36
3.6.2.2	Výpočet spoje na otlačení.....	37
3.6.2.3	Výpočet čepu na stříh.....	37
3.7	Pevnostní analýza mechanizmu.....	38
3.8	Pevnostní analýza nosné desky.....	40
<b>4.</b>	<b>Obdobné návrhy konstrukce plošiny.....</b>	<b>42</b>
4.1	První obdobné řešení.....	42
4.1.1	Znázornění pohybu madla a přítlačných nožek.....	43
4.2	Druhé obdobné řešení.....	43
4.2.1	Znázornění pohybu ploché tyče.....	44
4.3	Porovnání všech tří variant.....	44
<b>5.</b>	<b>Teleskopické tyče.....</b>	<b>45</b>
5.1	Základní popis funkce.....	45
5.2	Popis konstrukce.....	46
5.2.1	Oblast sloupu a lyžiny.....	46
5.2.2	Oblast pouzdra.....	46
5.2.3	Oblast spojení profilů.....	47
5.2.4	Pohyb přítlačné plošky.....	47
5.3	Výpočet hlavních nosných částí.....	48
5.3.1	Nosný profil obdélníkového průřezu.....	49
5.3.2	Nosná trubka.....	50
<b>6.</b>	<b>Kompatibilita stavitelné plošiny a teleskopických tyčí.....</b>	<b>51</b>
<b>7.</b>	<b>Závěr.....</b>	<b>52</b>

---

## **1. Úvod**

Jako zadání mojí diplomové práce jsem si vybral variabilní zavazadlový prostor vozu střední třídy. Cílem je navrhnout polohovatelnou podlahu, která by umožňovala rozdělení zavazadlového prostoru z důvodu oddělení těžších zavazadel od lehčích. Zároveň by stavitelná podlaha měla sloužit k lepšímu překonávání nákladové hrany při vyjímání zavazadel. Dalším návrhem by měly být zábrany proti posuvu zavazadel.

---

## **2. Zavazadlový prostor osobního automobilu**

### **2.1 Funkce zavazadlového prostoru**

Zavazadlový prostor slouží k přepravě zavazadel. Nachází se buď v přední, nebo v zadní části automobilu. Podle toho zda je motor uložen vpřed či vzad. Pokud je zavazadlový prostor v zadní části automobilu, potom jeho objem lze zvětšit sklopením opěradel zadních sedadel nebo pokud je to možné úplným vyjmutím sedadel. Velikost zavazadlového prostoru se udává v litrech a značně se odvíjí od druhu karoserie.

Rozlišujeme tyto základní druhy karoserie:

**Sedan** – Karoserie je uzavřená se stupňovitou zádí. Střecha je pevná a tuhá s možností otvírání malé části. Sedan je dvou nebo tří dveřového provedení. V zadní části může být víko, zasahující až ke střeše. Sedadla jsou ve dvou řadách. V přední řadě jsou dvě místa k sezení. V zadní řadě jsou dvě nebo tři místy. Zavazadlový prostor je oddělený.

**Liftback** – Tvar zadní části karoserie se vyznačuje tím, že za spodní hranou okna zadních dveří je vodorovná nebo téměř vodorovná plocha (odsazení). Záď je otvíratelná v celé ploše. Závěsy zadních (pátých, resp. třetích) dveří jsou umístěny u střechy vozidla.

**Limusina** – Karoserie je prostornější než u Sedanu a je uzavřená. Může mít dělící stěnu mezi předními a zadními sedadly. Střecha je pevná a tuhá s možností otvírání malé části. Čtyři nebo více míst k sezení. Nejméně však ve dvou řadách. Případná další sedadla mohou být sklápěcí. Karoserie má 4 nebo 6 dveří. Minimální délka vozidla je 5400 mm.

a)

b)

c)



**Obr. 2.1** 1. část schématu druhů osobních automobilů: a) Sedan; b) Liftback; c) Limusina | [www.ludeco.blog.cz](http://www.ludeco.blog.cz) [6]

**Hatchback** – Tvar zadní části karoserie se vyznačuje splývavou zádí, otvíratelnou v celé ploše. Závěsy zadních (pátých, resp. třetích) dveří jsou umístěny u střechy vozidla.

**Kupé** – Uzavřená karoserie, která má obvykle omezený zadní prostor pro cestující. Pevná a tuhá střecha s možností otvírání části střechy. Vpředu dvě až tři místa k sezení. Pokud zde jsou zadní sedadla, mohou být buď pevná, nebo sklopná. Dvoje boční dveře. V zádi automobilu může být víko (dveře), zasahující až ke střeše. Zavazadlový prostor je oddělený. V zadní části pro cestující se snižuje střecha.

**Offroad** – Terénní automobil, který se vyznačuje zvýšenou světlou výškou. Karoserie, která může být uzavřená i otevřená, má s rámem robustní konstrukci. Pohon kol je 4 x 4. Všechny tyto faktory umožňují zdolávání prudkých svahu, bahnitý terén i vodu.

**Combi** – Karoserie je prodloužená bez svažující se zádi. Osobní automobil vyznačující se velkým zavazadlovým prostorem, ve kterém se dají převážet rozměrnější náklady. Střecha je pevná a tuhá s možností otvírání menší části. Čtyři nebo více místa k sezení. Zadní sedadla mají sklopná opěradla nebo jsou vyjmíatelná. Dvoje až čtvery dveře a jedny zadní. Střecha je rovná. Zadní stěna je v celé ploše mírně šikmá nebo kolmá.

d)

e)



f)



g)



*Obr. 2.2* 2. část schématu druhů osobních automobilů: d) Hatchback; e) Kupé; f) Offroad; g) Combi | [www.ludeco.blog.cz](http://www.ludeco.blog.cz) [6]

Popis druhů karoserií byl citován z [1] a [6].

## 2.2 Stávající funkcionality v zavazadlovém prostoru

V zavazadlovém prostoru se vyskytují různé druhy přídavných zařízení, které slouží k variabilitě, uchycení nebo zadržení nákladu. Tyto prvky jsou již v základním vybavení vozu nebo se dají dokoupit. Z hlediska první pomoci při autohavárii je také důležité uložení autolékárničky.

### 2.2.1 Sít'

Jako nejjednodušší řešení upevnění nákladu považuji použití sítě, která má po obvodu elastickou gumu. Tato guma slouží ke stažení nákladu. Použití vidím spíše k zachycení lehčího nákladu, jako je například taška s nákupem nebo jiné obdobné zavazadlo. Sít' je dobře skladovatelná a tudíž nezabírá v prostoru mnoho místa.



Obr. 2.3 Ukázka sítě | [www.auto.cz](http://www.auto.cz) [11]



Obr. 2.4 Použití sítě | [www.auto.cz](http://www.auto.cz) [11]

Uchycení je provedeno ke dnu kufru pomocí sériových ok, která se dnes už vyskytuje u většiny osobních automobilů. Oka jsou ocelová, povrchově upravená. Připevnění je velmi rychlé a snadné.



Obr. 2.5 Ocelové oko | [www.auto.cz](http://www.auto.cz) [11]

## 2.2.2 Přihrádky

Přihrádky na dně zavazadlového prostoru, které používá značka vozů Renault, nám zvyšují variabilitu ve smyslu mnoha způsobů rozdělení dna. Výrobce uvádí až 35 možných kombinací vnitřního uspořádání. Přihrádky jsou vyrobeny z hliníkových nebo plastových profilů. Tím je docíleno nízké hmotnosti ale i potřebné pevnosti pro zadržení předmětů na dně úložného prostoru. Podle výšky přihrádek lze usuzovat, že se bude spíše jednat o drobnější nebo nižší předměty, kterým chceme zamezit v



---

pohybu. U většího nákladu by mohlo dojít k převrácení přes příhrádku a možné destrukci.

Obr. 2.6 Použití příhrádek

| [www.renault.cz](http://www.renault.cz) [12]

### 2.2.3 Dvojité dno

Dvojité dno umožní oddělení těžkých a objemných zavazadel od menších a křehkých. Přičemž objemná zavazadla budou uložena v horní části. Z Obr. 2.7 je patrné, že spodní část je také tvořena výsuvnou zásuvkou. Takovéto uspořádání je možné jenom tehdy, pokud není u



vozidla nákladová hrana. Tato hrana by nám bránila k vyjízdění spodní části dna. Zásuvka je opatřena příhrádkami, které nám umožní vytvoření více kombinací k možnému uložení drobných předmětů. Tato varianta uspořádání zavazadlového prostoru se vyskytuje u vozů Nissan X – Trail.

Obr. 2.7 Ukázka dvojitého dna | [www.auto.cz](http://www.auto.cz) [11]

### 2.2.4 Uchycení jízdních kol

V dnešní době, kdy člověk používá jízdní kolo k trávení volného času, je důležité vyřešit jeho převážení automobilem. Jejich upevnění na vozidle by se dalo rozdělit do tří skupin. Jako první možnost může být uchycení na střešní nosiče. Druhá je upevnění na nosiče v zadní části vozu. Tato varianta začíná být velice rozšířená. Rám na uchycení kol je připevněn k automobilu pomocí tažného zařízení nebo jako nová možnost se objevil zasouvací rám do prostoru rezervy. Do třetí skupiny by se dalo zařadit uchycení kol v zavazadlovém prostoru. Tímto provedením nám



---

však ubývá prostor k převážení ostatních zavazadel.

*Obr. 2.8 Upevnění jízdního kola | [www.auto.cz](http://www.auto.cz) [11]*

## **2.2.5 Výsuvná podlaha zavazadlového prostoru**

Výsuvná podlaha nám umožní snadnější přístup k zavazadlům. Odpadá nám námaha s "taháním" zavazadel až k zadním sedadlům. Jednoduše si vysuneme podlahu a po naložení nákladu vrátíme do původní polohy. Při převážení zimní sportovní výbavy, jako jsou např. lyže, se muže použít dělící sloupek, který zamezí jejich pohybu. U převážení prostornějšího

nákladu se dělící sloupek sklopí do podlahy. Vysunuté dno by také mohlo posloužit jako odkládací stolek na potraviny při campingu v přírodě.



*Obr. 2.9 Výsuvná podlaha | [www.auto.cz](http://www.auto.cz) [11]*

## **2.2.6 Přenosná taška**

Přenosná taška, která nám při složení zabírá co nejméně místa v zavazadlovém prostoru, je určitě přínosem. Taška slouží k uchovávání potravin, a proto je na vnitřní straně opatřena aluminiovou fólií. To nám zajistí delší dobu jejich uskladnění. Tašku lze jednoduše vyjmout z úchytu a použít volně na ulici nebo v přírodě. Ke snadnému pohybu s taškou nám slouží kolečka a výsuvné držadlo. Jelikož je taška vyrobena z plastu a textilie, má nízkou hmotnost.



Obr. 2.10 Možné varianty použití přenosné tašky | [www.auto.cz](http://www.auto.cz) [11]

## 2.2.7 Campingový stolek

U Hondy CR - V se pod kobercem v zavazadlovém prostoru nachází masivní plastové víko, které má na své spodní straně výklopné nožky. Ty jsou vyrobeny z ohýbaných trubek. Po snadném vyjmutí víka a rozložení noh se rázem změní na campingový stolek. Tato varianta se zajisté využije v přírodě pro příjemné posezení. Odpadá nám problém se zabíráním místa v zavazadlovém prostoru přenosným zahradním stolkem.



Obr. 2.11 Složený a rozložený stolek | [www.auto.cz](http://www.auto.cz) [11]

## 2.2.8 Zvětšení zavazadlového prostoru

Nezbytnou možností variability zavazadlového prostoru je zvětšení jeho objemu za pomocí manipulace se zadní řadou sedadel. U vozů, které mají více jak dvě řady, lze



---

postupně skládat jednotlivá sedadla dle potřeby velikosti převáženého nákladu. Pokud stačí menší zvětšení, sklopí se pouze poslední řada. Je-li zapotřebí maximálního objemu, sklopí se obě řady. Důležité je, aby sedadla při složeném stavu zabírala co nejméně místa. Také je dobré, když při složení nevznikají žádné hrany, které by zbytečně komplikovaly uložení, nakládání nebo vykládání zavazadel.

*Obr. 2.12 Zvětšený*

*zavazadlový prostor | [www.auto.cz](http://www.auto.cz) [11]*

### **2.2.9 Otvor v opěradlech zadních sedadel**

Otvor v opěradlech zadních sedadel je praktický v případě, kdy převážíme spíše delší a úzký náklad. Nemusíme tedy zbytečně sklápět celá opěradla, ale pouze použijeme vyklopení středního dílu. Díky této skutečnosti se může do automobilu naložit např. lyžařské vybavení, aniž by se přišlo o dvě místa k sezení. Pokud se tedy bude uvažovat, že tento náklad nebylo

možné uložit na střešní nosiče. Sklopení středního dílu se muže také použít jako opěrka rukou pro cestující na zadních sedadlech.



*Obr. 2.13 Otvor v opěradlech zadních sedadel | [www.auto.cz](http://www.auto.cz) [11]*

### **2.2.10 Teleskopický systém**

Uchytit předměty v zavazadlovém prostoru pomáhají popruhy a teleskopický systém. Ten se skládá ze tří Jaklů. Krajní jsou uchyceny ke sloupkům, které jsou otočné a zároveň se pohybují v kolejnicích uložených podél v podlaze. Díky tomuto konstrukčnímu řešení je docíleno velké variability zabraňování pohybu zavazadel při zrychlení nebo zpomalení

---

vozidla. Jednotlivé díly jsou převážně vyrobeny z hliníkové slitiny. Tím je docíleno nízké hmotnosti, ale zároveň také potřebné pevnosti.



*Obr. 2.14* Teleskopické tyče | [www.auto.cz](http://www.auto.cz) [11]   *Obr. 2.15* Popruhy | [www.auto.cz](http://www.auto.cz) [11]

### 2.2.11 Uložení autolékárničky

Uložení autolékárničky v zavazadlovém je důležitým prvkem. Účastník autonehody musí mít co nejrychlejší přístup ke zdravotnickým potřebám, aby mohl poskytnout první pomoc člověku, pro kterého jsou někdy i vteřiny otázkou života a smrti. Je tedy důležité uložení autolékarničky do přístupných míst. Tím určitě není místo pod víkem podlahy, na kterém může být zrovna spousta zavazadel. Přijatelné uložení je v bočních stranách zavazadlového prostoru.



*Obr. 2.16* Uložení autolékárničky | [www.auto.cz](http://www.auto.cz) [11]

### 2.2.12 Další funkcionality v zavazadlovém prostoru

K přenášení a převážení většího počtu drobnějších předmětů muže posloužit přepravka. Když ale není momentálně potřeba, je rychle rozložena a uložena na dno zavazadlového prostoru. Přepravka je vyrobena z plastové hmoty.



Obr. 2.17 Složená přepravka | [www.auto.cz](http://www.auto.cz) [11]



Obr. 2.18 Rozložená přepravka

Pokud nechceme používat ruční hustilku k dofouknutí pneumatik, potom určitě využijeme vzduchový kompresor, který je uložen v boční části zavazadlového prostoru. Součástí je dostatečně dlouhá hadice pro nahuštění všech kol a automobilu, ale i např. cyklistického kola.



Obr. 2.19 Vzduchový kompresor | [www.auto.cz](http://www.auto.cz) [11]

Dvojí využití světla na boční straně. Zaprvé jako klasické osvícení prostoru a zadruhé při vyjmutí poslouží, jako přenosná svítidla.



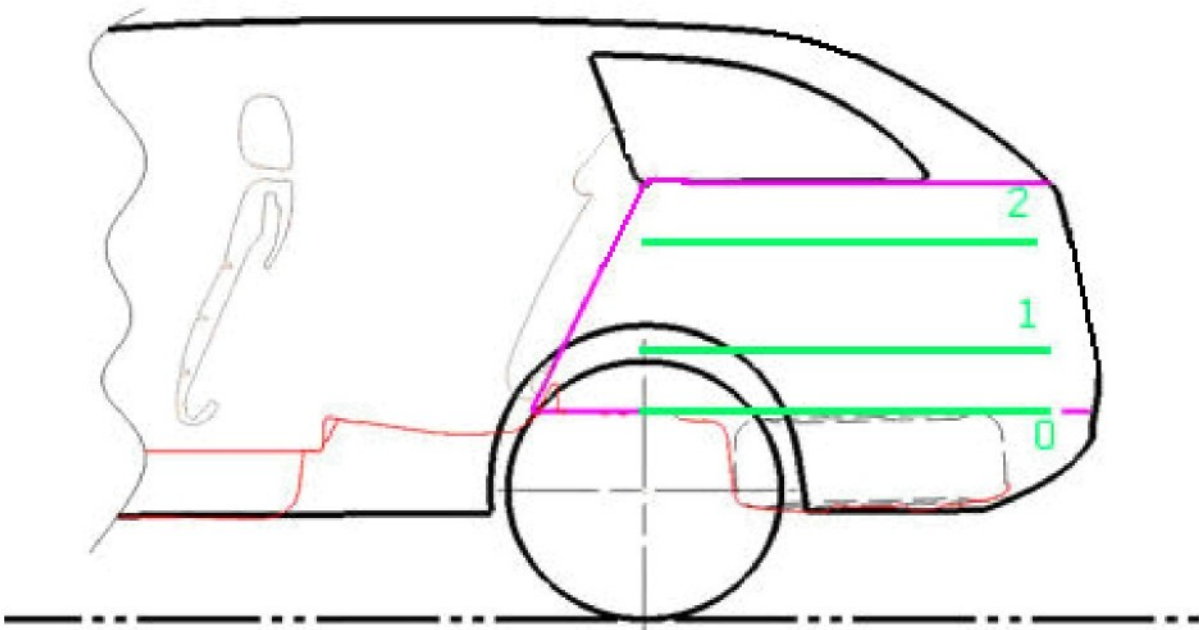
Obr. 2.20 Světlo na boční straně | [www.auto.cz](http://www.auto.cz) [11]

### 3. Návrh modifikace zavazadlového prostoru s polohovatelnou plošinou

#### 3.1 Základní popis

Mým hlavním modifikačním prvkem je stavitelná plošina, která by měla sloužit k rozdělení zavazadlového prostoru. Umožní se tím oddělení těžkých zavazadel od lehkých.

Plošinu navrhoji se třemi základními polohami. Při potřebách převážení rozměrných nákladů bude plošina v poloze 0. Tím je docíleno maximálního objemu zavazadlového prostoru. Jelikož plošina přece jen bude zabírat určité místo i ve složeném stavu, musí být navržena tak, aby byla snadno vyjímatelná. Při poloze 1 zlepší vykládání a nakládání přes nákladovou hranu díky vyrovnání výšek. Náklad se tedy nebude muset zdvihat, ale pouze se přesune přes hranu. A v poloze 2 vzniká dolní část s větším prostorem pro objemnější zavazadla a horní část pro menší. Zamezí se tím možnost zničení křehkých předmětů, které by se mohly dostat do kontaktu s hmotnějším nákladem. Zároveň je umožněn přístup k rezervě v případě defektu pneumatiky kola. Zmíněné polohy jsou znázorněny na obr. 3.1.



Obr. 3.1 Polohy podlahové plošiny | Swell, spol s r.o. [5]

### 3.2 Základní geometrie plošiny

Plošina je sestavena z nosné desky, která slouží jako odkládací plocha zavazadel. K ní je na zadní straně upevněna patka a na přední straně profil tvaru C, v němž se pohybuje přední patka. Pomocí čepů jsou k patkám upevněny nosné profily ze slitiny hliníku obdélníkového průřezu. Provedení na spodní straně je obdobné s tím rozdílem, že přední patka umožnuje

---

aretaci posuvného pohybu. Profily se uprostřed kříží a jsou spojeny středovým čepem, což umožnuje rotační pohyb. Vznikne tzv. nůžkový mechanizmus, který umožní výškovou stavitelnost. Je umístěn na dvou stranách po směru jízdy co nejvíce v krajích, aby bylo dosaženo podmínky přístupnosti rezervy. Samotný mechanizmus se při složené poloze ukládá do vytvarované nosné desky.



**Obr. 3.2** Stavitelná plošina

Při navrhování mi šlo především o docílení malé celkové hmotnosti, ale zároveň i požadované pevnosti a o co nejmenší zabírání prostoru samotným mechanizmem. Dále jsem se snažil o co největší výškovou variabilitu, kterou by daný mechanizmus umožňoval provést.

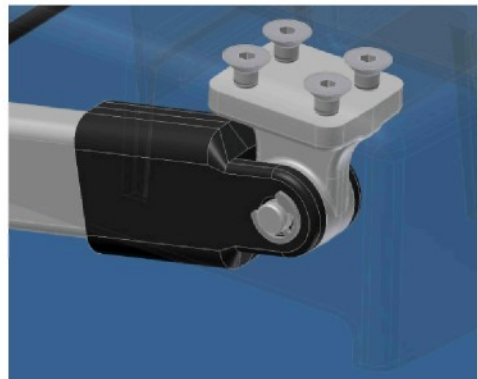
### **3.3 Bližší popis hlavní varianty plošiny**

Nyní popíši provedení jednotlivých spojení součástí a zároveň jaké umožňují pohyby.

#### **3.3.1 Zadní horní patka**

---

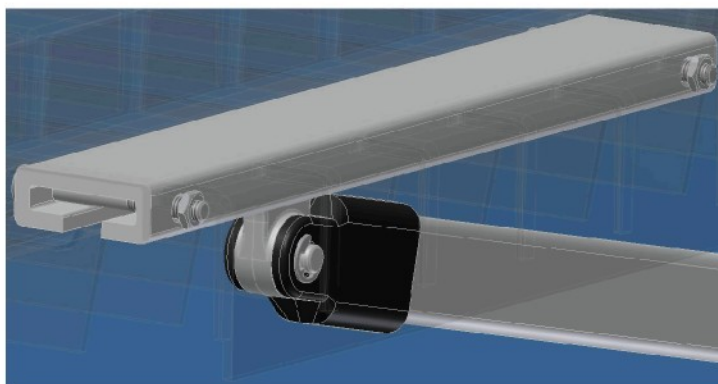
Zadní horní patka, která je opatřena dírami se závitem, je k nosné desce upevněna pomocí čtyř šroubů se zápustnou hlavou, aby nedocházelo při nakládání nebo vykládání zavazadel k jejich poškození. Pomocí čepu je spojena s ramenem, což umožňuje jeho rotační pohyb. Uložení je symetrické pro lepší zamezení případného příčení. Čep je zajištěn z obou stran pojistnými třmenovými kroužky.



*Obr. 3.3* Zadní horní patka

### 3.3.2 Přední horní patka

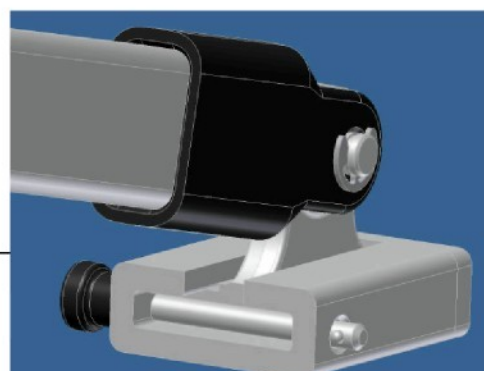
Tato patka je uložena v profilu tvaru C, který slouží jako lyžina pro vytvoření posuvného pohybu. Profil je upevněn dvěma šrouby se zápustnou hlavou k nosné desce a z druhé strany maticemi. Deska je v tomto místě uložení využita. Šrouby zároveň slouží jako doraz pro zamezení úplného vysunutí patky z profilu. Toto opatření je důležité pouze při manipulaci s plošinou do nejvyšší polohy. Z tohoto důvodu se při montáži musí nejprve patka nasunout a poté lyžina upevnit. Upevnění patky s ramenem je obdobné, jako v předešlém případě. Čili je umožněn jak rotační, tak i posuvný pohyb ramene.



*Obr. 3.3* Přední horní patka

### 3.3.3 Zadní spodní patka

Zadní spodní patka je uložena v profilu tvaru C. Ten je upevněn pomocí dvou šroubů se zapustnou



---

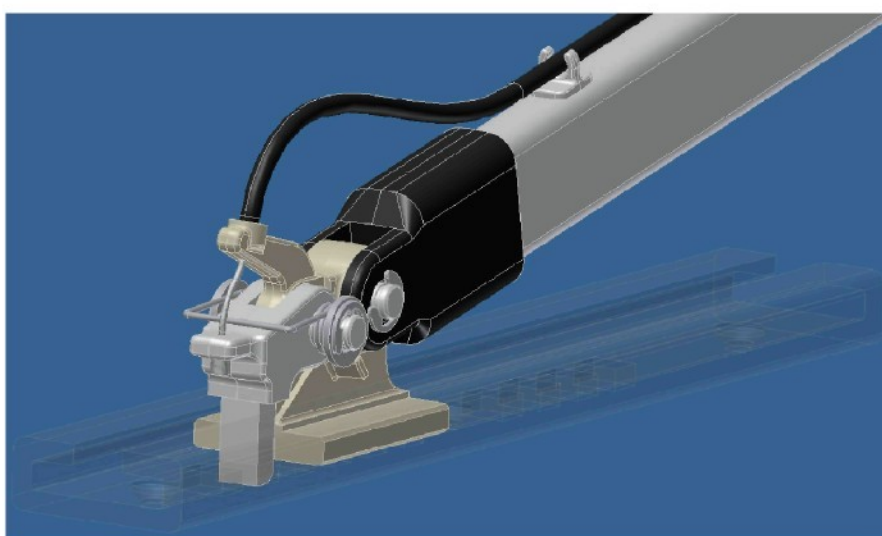
hlavou na dno zavazadlového prostoru. Šrouby jsou zapuštěny, aby nebránily nasunutí patky do profilu. Ten je na zadní straně zaslepen plátem pro možnost dorazu. Přední straně je opatřen otvory, do kterých se vkládá čep s kuličkami. Tím je zabráněno vysunutí patky ven z profilu. Toto provedení nám umožňuje velice rychlé a pohodlné vyjmání plošiny z vozidla ven. Rameno je opět spojeno za pomocí čepu a je zde tedy vytvořena rotační vazba.

*Obr. 3.4* Zadní spodní patka

### 3.3.4 Přední spodní patka

Tato patka je také uložena v profilu tvaru C. Ten je upevněn třemi šrouby stejně jako u zadní spodní patky. Do něho jsou vytvořeny otvory obdélníkového průřezu, které slouží pro zapadnutí rohatky upevněné na patce pomocí čepu. Je tedy umožněn její rotační pohyb. Rohatku udržuje v pracovní poloze zkrutná pružina nasunutá na čepu a zajištěna podložkami a pojistnými třmenovými kroužky. Patka může v profilu vykonávat posuvný pohyb. Pro jeho potřebné zamezení slouží právě rohatka. Tím je umožněna výšková stavitelnost plošiny. K patce je přivedeno ocelové lanko, které je uloženo v bovdenu a slouží nám k manipulaci

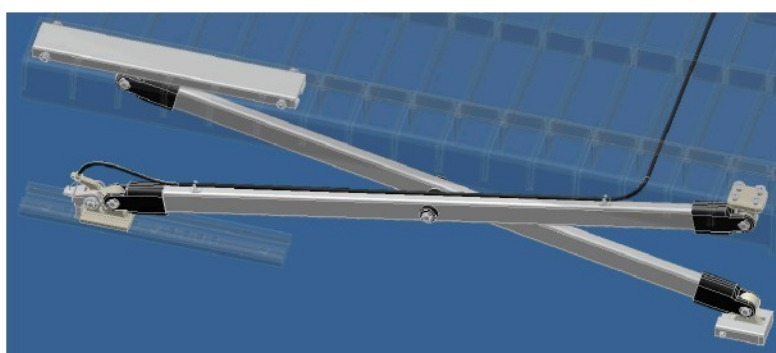
s rohatkou. Upevnění ramene je stejné jako ve všech ostatních případech.



*Obr. 3.5* Přední spodní patka

### 3.3.5 Ramena

Ramena se skládají, jak jsem již uváděl, z profilu obdélníkového průřezu. Na ten jsou



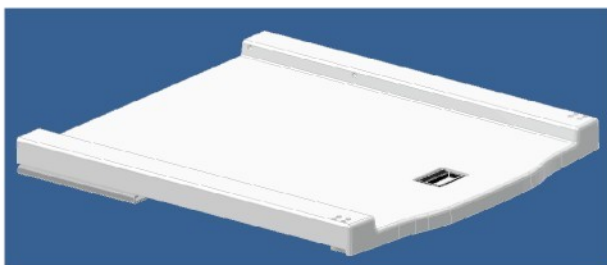
z obou stran nalisována pouzdra vidlicového tvaru,

která slouží k připojení patek. Technologií lisování pouzder jsem zvolil z důvodu urychlení výroby. Vlivem zatížení je zaručena pevnost spoje, jelikož jsou součásti zatlačovány do sebe. Uprostřed je přivařena trubka, do níž je nalisováno kluzné pouzdro. Spojení obou součástí pomocí svaru je důležité při působení boční síly na plošinu. V tomto případě by mohlo docházet k vylamování, čemuž by měla pevnost svaru zabránit. Obě ramena jsou spojena zajištěným čepem pojistnými třmenovými kroužky. Vnější profil zároveň slouží, za pomocí přilepených úchytů k vedení bovdenu lanka.

**Obr. 3.6** Ramena

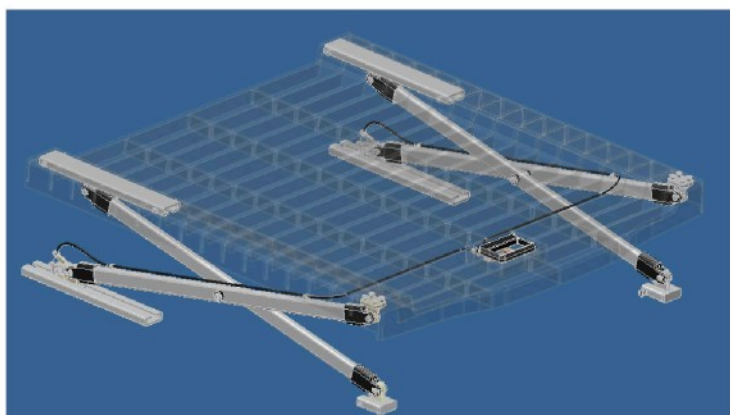
#### 3.4 Kinematika pohybu

Na obr. 3.7 je znázorněna plošina v poloze 0. Při tomto stavu je celý nůžkový mechanizmus schován pod nosnou deskou. A rohatka je zapadnuta v prvním otvoru.

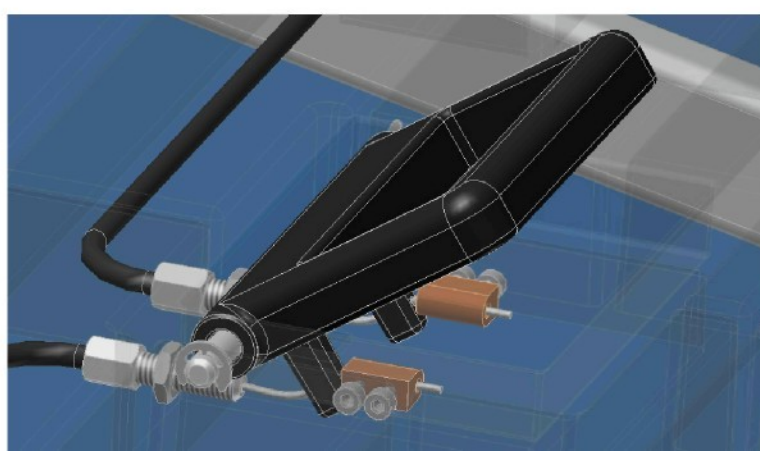


**Obr. 3.7** Plošina v poloze 0

Na obr. 3.8 je znázorněna plošina v poloze 1. Rohatka je ve druhém otvoru. Zároveň je zde vidět vedení bovdenu s lankem. Od každé rohatky vede samostatný a jsou vyvedeny u madla.



**Obr. 3.8** Plošina v poloze 1



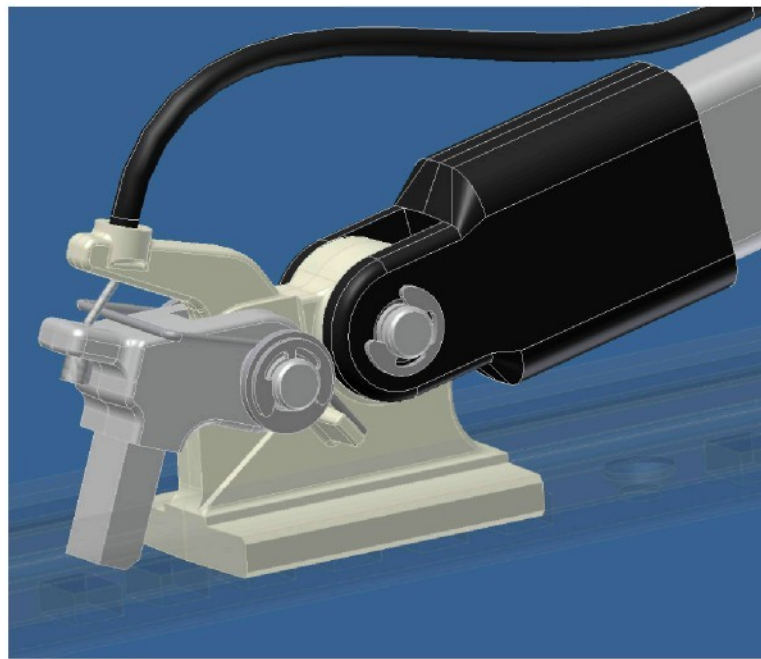
##### 3.4.1 Znázornění pohybu madla a rohatky

Madlo je uchyceno k nosné desce pomocí čepu, který je z obou stran zajištěn

---

pojistnými třmenovými kroužky. Při jeho uchopení dojde k vyklopení a tím i k zatažení obou ocelových lanek, která jsou protažena dírami v madle a zajištěna třmeny s utahovacími šrouby. Zatažené lanko nadzdvihne rohatku a tím umožní posuvný pohyb patky. Nyní lze s plošinou výškově manipulovat. Až do doby kdy povolíme madlo, potom dojde vlivem zkrutné pružiny k vracení rohatky a zapadnutí zpět do otvoru. Pro zajištění stálosti funkce slouží napínací šrouby procházející zesílenou stěnou desky. Ty zajišťují proti pootočení opírající se o stěnu kontramatice. Bovdeny jsou ukončeny u madla ve stavěcích šroubech a u patky v předvrтанém pouzdru.

*Obr. 3.9* Madlo v akční poloze



*Obr. 3.10* Rohatka v akční poloze

### 3.5 Použité materiály

---

Při výběru materiálu jsem uvažoval, že čím vyšší hmotnosti konstrukce dosáhnu, tím vyšší bude spotřeba paliva automobilu, což je nežádoucí. Proto jsem se zaměřil především na hliníkové slitiny a plasty. Popis vlastností materiálů je převzat z literatury [1], [4], [8].

### **Nosná deska**

Jako materiál nosné desky jsem použil termoplast *ABS* celým názvem akrylnitril-budadien styrol. Termoplasty jako takové jsou teplem tvárné. V provozu ale nesmějí být vystaveny teplotám, které jsou blízké teplotě měknutí.

*ABS* je:

- pevný, tuhý
- za běžných teplot vysoce houževnatý
- je odolný při teplotách od -30°C do 85°C
- chemicky odolný

Používá se při výrobě krytů a těles přístrojů, vysavačů, kancelářských strojů, ochranné přilby, skřínky radiopřijímačů. V automobilovém průmyslu pak především na lisovstřikované výlisky, které jsou namáhané a tvarově složité. Jsou to díly jako mřížky krytů chladičů, klimatizací, rámečky světlometů, tvarové kryty sloupků volantů, pouzdra zrcátek, kryty nábojů kol, přístrojových desek. Umožňuje galvanické chromování.

### **Profile obdélníkového a C průřezu**

Použité profily jsou normalizované. Podle výrobce je materiál uváděn jako hliníková slitina ČSN 42 4400.

Tento materiál se vyznačuje:

- vytvrzitelností
- dobrou svařitelností plamenem i obloukem
- dobrou tvárností
- leštiteľností a odolnosti proti korozi
- chemickou stálostí

---

Používá se v leteckém a automobilovém průmyslu pro středně namáhané konstrukce.

### ***Patky***

Materiál pro patky jsem zvolil termoplast PA celým názvem polyamid. Abych zamezil znečištění zavazadel, nemohl jsem v místě čepů použít žádné mazivo, a proto jsem použil PA-6, který má tyto vlastnosti:

- vysoká pevnost, výborná houževnatost
- dobrá opracovatelnost a teplotní vodivost
- nízký koeficient tření, dobré elektrické izolační vlastnosti
- chemická odolnost

Používá se všude tam, kde:

- je možnost koroze jiných materiálů
- není možné zajistit pravidelné mazání
- je potřeba snížit opotřebení a zabránit nadměrnému hluku
- moderní konstrukce vyžadují nahradit tradičně používané materiály lehčí a cenově dostupnější surovinou

### ***Nejčastější aplikace***

- stavba strojů a zařízení:

- kluzná ložiska, kluzné a vodící desky, lišty, ozubená kola, bezhlavné převody, vačky, řemenice, šoupátka, vodící pouzdra a uložení, transportní válečky, těsnící kroužky, atd.

- zemědělská, stavební a dopravní výroba:

- součásti pro těžké pracovní podmínky bez možnosti přídavného mazání, podavače, transportní korečky, spojky, plochá a tvarová těsnění, atd.

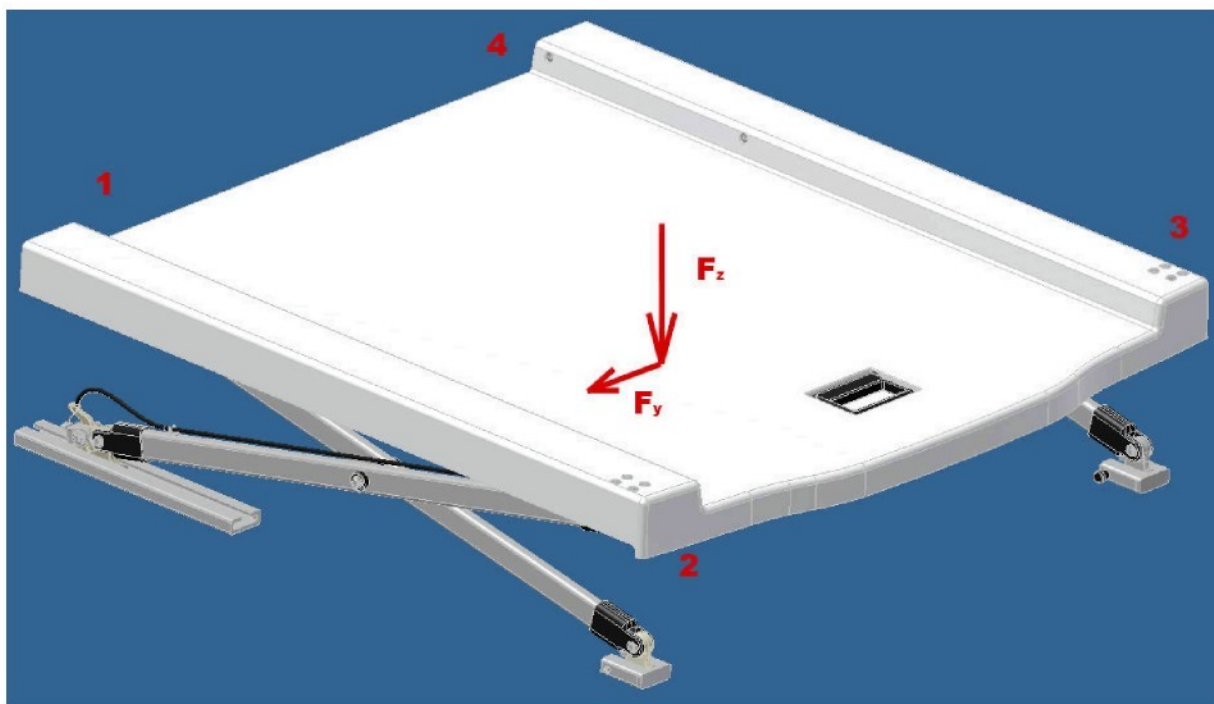
### ***Čepy a rohatka***

---

Zde jsem použil materiál 11 600, který se používá na strojní součásti vystavené velkému tlaku, jako jsou výkovky hřídelí, ozubená kola, čepy, písty, klíny, pastorky, šneky, vřetena lisů apod.

### 3.6 Výpočet nosných částí mechanizmu

Při výpočtu nosných částí uvažuji nejméně příznivou variantu, která by mohla nastat vzhledem k nosné konstrukci. Proto zavádím síly na plošinu v poloze 1. Tato poloha, jak jsem již uváděl, umožňuje naložení objemnějšího a tím i hmotnějšího nákladu. Zároveň je nepříznivě namáhána v bočním směru vlivem např. odstředivé síly při průjezdu vozidla zatáčkou.



**Obr. 3.11** Zavedení sil na plošinu

Počítám, že maximální zatížení plošiny bude 50kg, což by mohlo odpovídat cca třem plně naloženým cestovním zavazadlům. Při potřebách převážení vyšší zátěže musí být plošina vyjmuta z vozidla. Vozidlo při průjezdu nerovnostmi může dosahovat přetížení 2,5 g. A při jízdě v zatáčce jedno g.

Potom tedy síla  $F_z$  bude:

$$F_z = m \cdot 2,5 \cdot g = 50 \cdot 2,5 \cdot g = \underline{1226,3N} . \quad (1)$$

A síla  $F_y$ :

$$F_y = m \cdot g = 50 \cdot g = \underline{490,5N} . \quad (2)$$

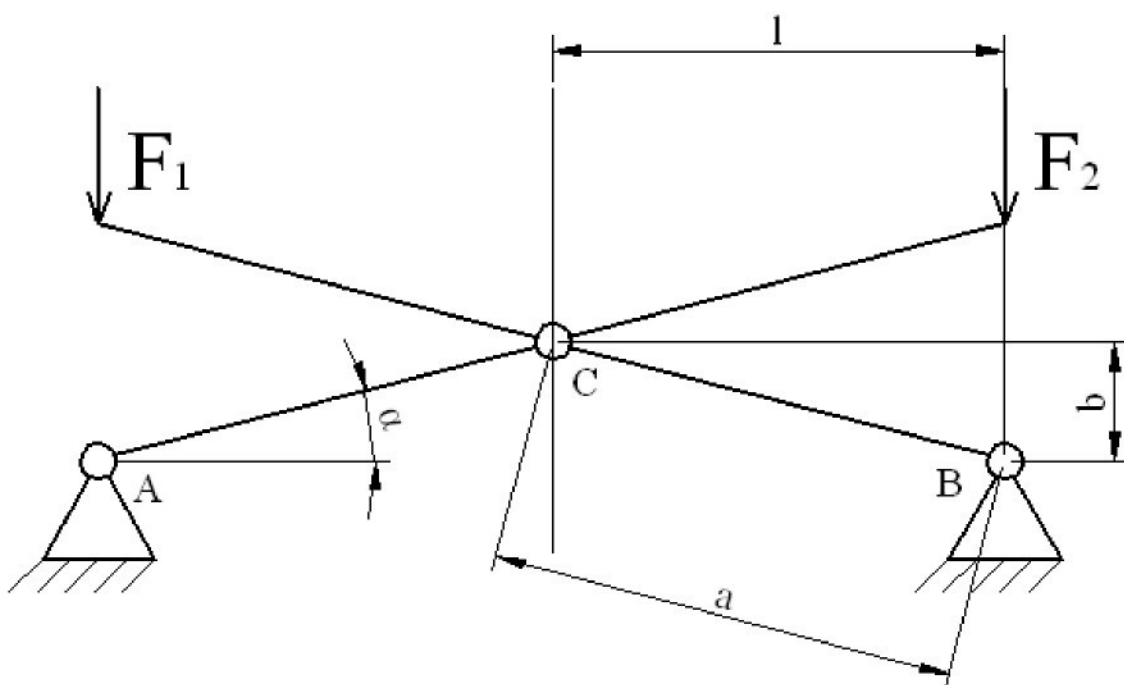
### 3.6.1 Namáhání ramen

Při výpočtu ramen budu počítat pouze se zatěžující sílou  $F_z$ . V tomto případě budu ale uvažovat s vyšší bezpečností.  $F_y$  použiji až při pevnostní analýze mechanizmu.

Je málo pravděpodobné, že by zatěžující síla působila vždy uprostřed desky. Kdyby tomu tak ale bylo, rozložila by se do jednotlivých horních patek. Tyto síly by měly velikost:

$$F = \frac{F_z}{4} = \frac{1226,3}{4} = \underline{306,6N} . \quad (3)$$

Jelikož jsem chtěl do výpočtů zavést určitou asymetrii zatížení mechanizmu, zvolil jsem rozložení sily na jednotlivé patky viz obr. 3.11:  $F_1=400N$ ,  $F_2=450N$ ,  $F_3=350N$ ,  $F_4=126,3N$ .



Obr. 3.12 Schéma ramen

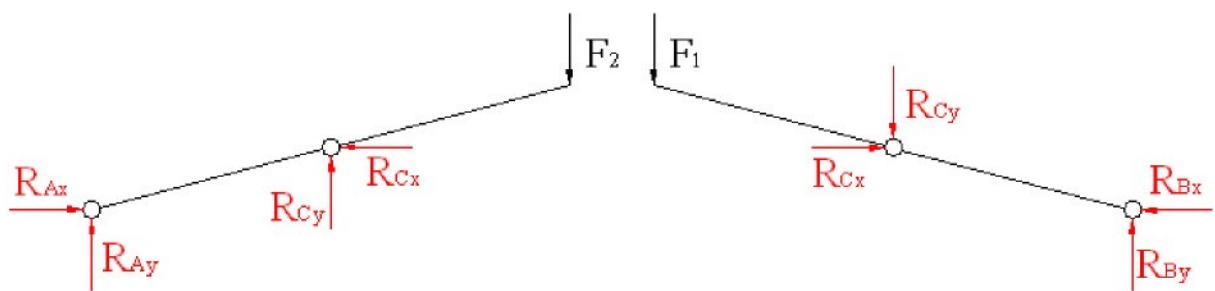
Mechanismus je symetrický. Na obr. 3.12 je označena délka poloviny ramene  $a = 365\text{mm}$ , jeho úhel naklonění  $\alpha = 12^\circ$ . Rozměry  $l, b$  mohu dopočítat:

$$l = a \cdot \cos \alpha = 365 \cdot \cos 12^\circ = \underline{357\text{mm}}, \quad (4)$$

$$b = a \cdot \sin \alpha = 365 \cdot \sin 12^\circ = \underline{75,9\text{mm}}. \quad (5)$$

### 3.6.1.1 Výpočet reakcí

Abych vypočetl reakce v rotačních vazbách A, B a C, které jsou zakresleny na obr. 3.13, musím uvolnit jednotlivé nosníky.



Obr. 3.13 Uvolněné nosníky

Z obr. 3.13 je patrné, že v uvolněných nosnících je 6 reakcí. Pro jejich výpočet musím sepsat 6 rovnic statiky.

Pro levý nosník mohu psát první tři:

$$\rightarrow: \quad R_{Ax} - R_{Cx} = 0, \quad (6)$$

$$\uparrow: \quad R_{Ay} + R_{Cy} - F_2 = 0, \quad (7)$$

$$A: \quad F_2 \cdot 2 \cdot l - R_{Cy} \cdot l - R_{Cx} \cdot b = 0. \quad (8)$$

A pro pravý nosník další tři rovnice:

$$\rightarrow: \quad R_{Cx} - R_{Bx} = 0, \quad (9)$$

$$\uparrow: \quad R_{By} - R_{Cy} - F_1 = 0, \quad (10)$$

---

$$B: R_{Cx} \cdot b - R_{Cy} \cdot l - F_1 \cdot 2 \cdot l = 0. \quad (11)$$

Při sečtení (6) a (9) dostávám rovnici:

$$R_{Bx} = R_{Ax}. \quad (12)$$

Přepsáním rovnic (8), (11) a jejich následným sečtením vychází  $R_{Cy}$ :

$$-R_{Cy} \cdot l - R_{Cx} \cdot b + F_2 \cdot 2 \cdot l = 0, \quad (13)$$

$$\underline{-R_{Cy} \cdot l + R_{Cx} \cdot b - F_1 \cdot 2 \cdot l = 0}, \quad (14)$$

$$R_{Cy} = F_2 - F_1. \quad (15)$$

Dosazením rovnice (15) do rovnic (7) a (10) dostávám:

$$R_{Ay} = F_1, \quad (16)$$

$$R_{By} = F_2. \quad (17)$$

Abych zjistil  $R_{Cx}$  musím dosadit (15) do (8) a výsledná reakce potom je:

$$R_{Cx} = \frac{(F_1 + F_2) \cdot l}{b}. \quad (18)$$

Jako poslední zbývá  $R_{Ax}$ , kterou zjistím z rovnice (6).

$$R_{Ax} = R_{Cx}. \quad (19)$$

Nyní jsou všechny reakce vyjádřeny a můžu tedy do rovnic dosadit konkrétní hodnoty.

$$R_{Ax} = R_{Bx} = R_{Cx} = \frac{(F_1 + F_2) \cdot l}{b} = \frac{(400 + 450) \cdot 357}{75,9} = \underline{3998N}, \quad (20)$$

$$R_{Ay} = F_1 = \underline{400N}, \quad (21)$$

$$R_{By} = F_2 = \underline{450N}, \quad (22)$$

$$R_{Cy} = F_2 - F_1 = 450 - 400 = \underline{50N}. \quad (23)$$

Výslednice  $R_A$ ,  $R_B$  a  $R_C$ :

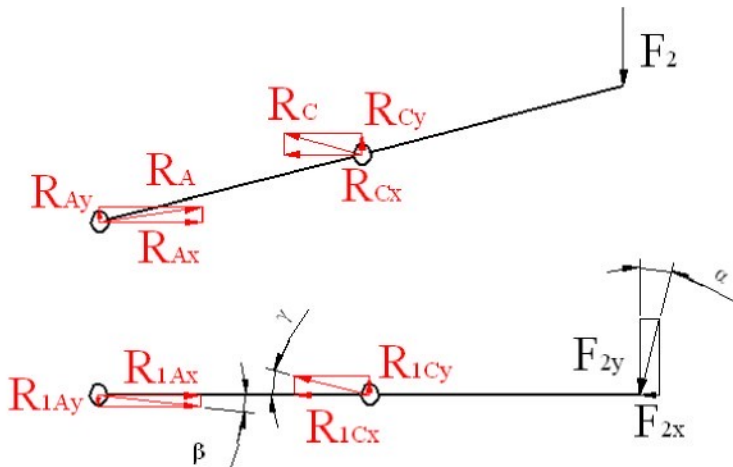
$$R_A = \sqrt{R_{Ax}^2 + R_{Ay}^2} = \sqrt{3998^2 + 400^2} = \underline{4018N}, \quad (24)$$

$$R_B = \sqrt{R_{Bx}^2 + R_{By}^2} = \sqrt{3998^2 + 450^2} = \underline{4023,3N}, \quad (25)$$

$$R_C = \sqrt{R_{Cx}^2 + R_{Cy}^2} = \sqrt{3998^2 + 50^2} = \underline{3998,3N}. \quad (26)$$

### 3.6.1.2 Maximální ohybový moment

Výpočet maximálního ohybového momentu, který bude na nosníku s větší zatěžující silou  $F_2$ , provedu pomocí vnitřních statických účinků. Z tohoto důvodu musím provést rozložení sily a výslednic reakcí kolmo na nosník. Zároveň otočím nosník do vodorovné polohy. Tyto operace jsou znázorněny na obr. 3.14.



Obr. 3.14 Rozložení sil

Pro výpočet složek reakcí  $R_{1Ax}$ ,  $R_{1Ay}$  a  $R_{1Cx}$ ,  $R_{1Cy}$  potřebuji dopočítat úhly  $\beta$  a  $\gamma$ :

$$\beta = \alpha - \arctan \frac{R_{Ay}}{R_{Ax}} = 12 - \arctan \frac{400}{3998} = \underline{6,29^\circ}, \quad (27)$$

$$\gamma = \alpha + \arctan \frac{R_{Cy}}{R_{Cx}} = 12 + \arctan \frac{50}{3998} = \underline{12,72^\circ}. \quad (28)$$

Nyní jsou velikosti složek reakcí a sil následující:

$$R_{1Ax} = R_A \cdot \cos \beta = 4018 \cdot \cos 6,29 = \underline{3993,8N}, \quad (29)$$

$$R_{1Ay} = R_A \cdot \sin \beta = 4018 \cdot \sin 6,29 = \underline{440,2N}, \quad (30)$$

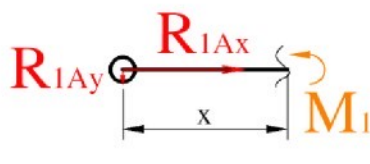
$$R_{1Cx} = R_C \cdot \cos \gamma = 3998,3 \cdot \cos 12,72 = \underline{3900,2N}, \quad (31)$$

$$R_{1Cy} = R_C \cdot \sin \gamma = 3998,3 \cdot \sin 12,72 = \underline{880,4N}, \quad (32)$$

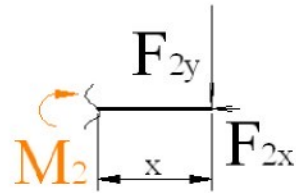
$$F_{2x} = F_2 \cdot \sin \alpha = 450 \cdot \sin 12 = \underline{93,6N}, \quad (33)$$

$$F_{2y} = F_2 \cdot \cos \alpha = 450 \cdot \cos 12 = \underline{440,2N}. \quad (34)$$

Abych zjistil maximální ohýbový moment, musím vytvořit dva myšlené řezy v nosníku. První je v oblasti mezi body A a C. Druhý mezi C a sírou F. Oba jsou znázorněny na obr. 3.15, obr. 3.16.



Obr. 3.15 První myšlený řez



Obr. 3.16 Druhý myšlený řez

Z obr. 3.15 mohu psát momentovou rovnici k místu řezu. Ze které mně vyjdou momenty  $M_1(0)$ ,  $M_1(a)$  následovně:

$$M_1(x) = -R_{1Ay} \cdot x, \quad (35)$$

$$M_1(0) = -440,2 \cdot 0 = \underline{0N \cdot mm}, \quad (36)$$

$$M_1(a) = -440,2 \cdot 365 = \underline{-160673N \cdot mm}. \quad (37)$$

To samé provedu pro obr. 3.16.

$$M_2(x) = -F_{2y} \cdot x, \quad (38)$$

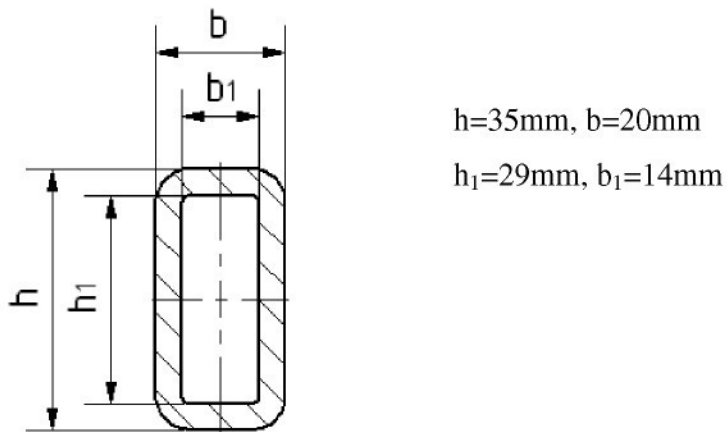
$$M_2(0) = -440,2 \cdot 0 = \underline{0N \cdot mm}, \quad (39)$$

$$M_2(a) = -440,2 \cdot 365 = \underline{-160673N \cdot mm}. \quad (40)$$

Z vypočtených hodnot je patrné, že maximální ohybový moment  $M_{o\max}=160673$  je v místě C. Tento moment zde vzniká z důvodu překřížení ramen, která jsou spojena čepem.

### 3.6.1.3 Maximální napětí v ohybu

Pro zjištění maximálního napětí v ohybu  $\sigma_o$  potřebuji také znát průřezový modul v ohybu  $W_o$ .



Obr. 3.16 Průřez profilem

$$W_o = \frac{1}{6} \cdot (b \cdot h^2 - b_1 \cdot h_1^2) = \frac{1}{6} \cdot (20 \cdot 35^2 - 14 \cdot 29^2) = \underline{2121\text{mm}^3}. \quad (41)$$

Následně velikost napětí v ohybu  $\sigma_o$  je:

$$\sigma_o = \frac{M_{o\max}}{W_o} = \frac{160673}{2121} = \underline{75,8\text{MPa}}. \quad (42)$$

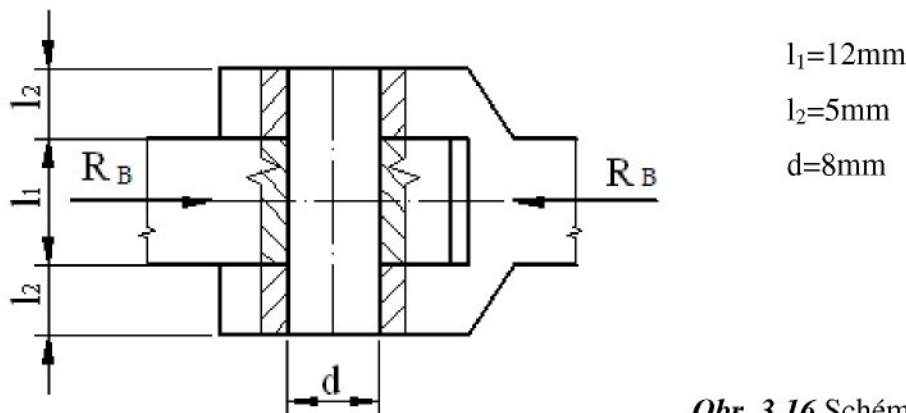
U hliníkových slitin se udává dovolené napětí v ohybu  $\sigma_{D0}=120\text{MPa}$ . Proto výsledná bezpečnost bude:

$$k_1 = \frac{\sigma_{D_o}}{\sigma_o} = \frac{120}{75,8} = \underline{1,6}. \quad (43)$$

Z vypočtené bezpečnosti  $k_1$  vyplývá, že nosník (rameno) je dostatečně dimenzován na případné maximální zatížení ve svislém směru.

### 3.6.2 Výpočet čepu

Čepy se dimenzují na ohyb, otlačení a střih. Výpočet budu provádět v místě podpory B, jelikož je zde největší reakce.



*Obr. 3.16 Schéma čepového spojení*

#### 3.6.2.1 Výpočet čepu na ohyb

Jelikož je čep uložen ve vidlici těsně a v patce volně musím počítat, že maximální ohybový moment  $M_{očmax}$  bude:

$$M_{očmax} = R_B \cdot \frac{l_1}{8} = 4023,3 \cdot \frac{12}{8} = \underline{6035\text{N} \cdot \text{mm}}. \quad (44)$$

Průřezový modul čepu  $W_{oč}$  se vypočte ze vztahu:

$$W_{oč} = \frac{\pi \cdot d^3}{32} = \frac{\pi \cdot 8^3}{32} = \underline{50,3\text{mm}^3}. \quad (45)$$

Ohybové napětí  $\sigma_{oč}$  tedy je:

---


$$\sigma_{oc} = \frac{M_{oc\max}}{W_{oc}} = \frac{6035}{50,3} = \underline{\underline{120 \text{ MPa}}} . \quad (46)$$

Zvolený materiál 11 600 má dovolené napětí v ohybu  $\sigma_{D_o}=180 \text{ MPa}$ . Bezpečnost vychází:

$$k_2 = \frac{\sigma_{D_o}}{\sigma_{oc}} = \frac{180}{120} = \underline{\underline{1,5}} . \quad (47)$$

Bezpečností  $k_2$  čep vyhovuje při ohybovém namáhání.

### 3.6.2.2 Výpočet spoje na otlačení

K otlačení dochází ve stykové ploše jak čepu a patky, tak i čepu a vidlice. Pro první případ bude tlak  $p_1$  a pro druhý tlak  $p_2$ :

$$p_1 = \frac{R_B}{l_1 \cdot d} = \frac{4023,3}{12 \cdot 8} = \underline{\underline{42 \text{ MPa}}} , \quad (48)$$

$$p_2 = \frac{R_B}{2 \cdot l_2 \cdot d} = \frac{4023,3}{2 \cdot 5 \cdot 8} = \underline{\underline{50,3 \text{ MPa}}} . \quad (49)$$

Patku jsem navrhl z materiálu PA-6, u kterého se uvádí pevnost v tlaku  $R_{mp}=95 \text{ MPa}$ . Vidlice je vyrobena z hliníkové slitiny 42 4400. Ta má dovolené napětí v tlaku  $\sigma_{D_p}=110 \text{ MPa}$ . Proto bezpečnosti  $k_3, k_4$  jsou:

$$k_3 = \frac{R_{mp}}{p_1} = \frac{95}{42} = \underline{\underline{2,3 \text{ MPa}}} , \quad (50)$$

$$k_4 = \frac{\sigma_{D_p}}{p_2} = \frac{110}{50,3} = \underline{\underline{2,2 \text{ MPa}}} . \quad (51)$$

Bezpečnosti  $k_3$  a  $k_4$  jsou dostatečně vysoké. Jejich hodnota se však může snížit vlivem působení boční sily  $F_y$ , která zapříčiní zkřížení součástí. Díky tomuto mohou být tlaky na hranách vyšší.

### 3.6.2.3 Výpočet čepu na stříh

U materiálu 11 600 je dovolené napětí ve smyku  $\tau_{Ds}=105 \text{ MPa}$ . Po vypočtení napětí ve smyku  $\tau_s$  mohu dopočítat bezpečnost  $k_4$ .

$$\tau_s = \frac{2 \cdot R_B}{\pi \cdot d^2} = \frac{2 \cdot 4023,3}{\pi \cdot 8^2} = \underline{\underline{40 MPa}}, \quad (52)$$

$$k_4 = \frac{\tau_{Ds}}{\tau_s} = \frac{105}{40} = \underline{\underline{2,6}}. \quad (53)$$

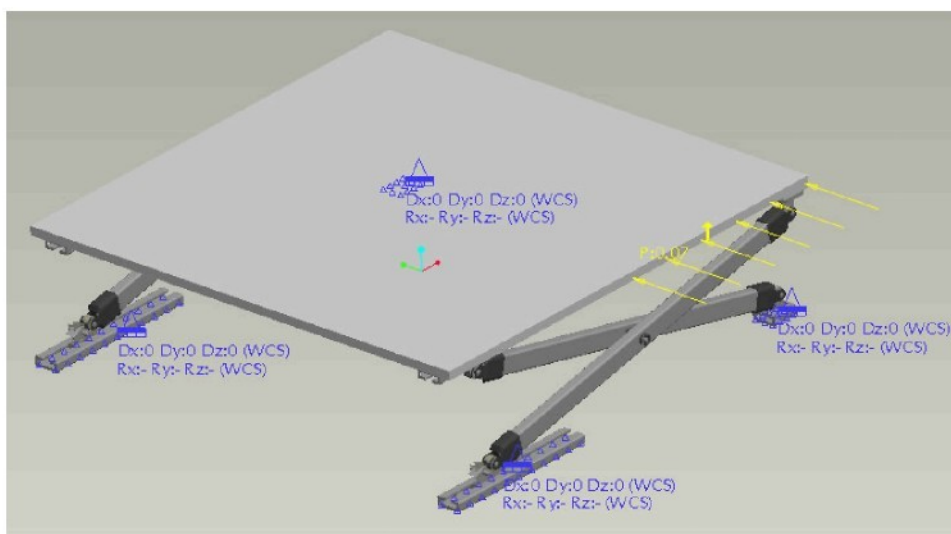
Bezpečností  $k_4$  je čep dostatečně dimenzován na stříh. Střihové napětí v čepu vzniká mezi hranami patky a vidlice.

### 3.7 Pevnostní analýza mechanizmu

V předešlé části jsem mechanizmus dimenzoval ve směru působení síly  $F_z$ . Nyní provedu kontrolu pomocí pevnostní analýzy při působení boční síly  $F_y$ .

U sestavy jsem zamezil posuvy ve všech osách ( $x$ ,  $y$ ,  $z$ ) na spodní ploše dolních profilů, kde jsou uloženy patky. Jednotlivé vazby součástí jsem nijak nedefinoval, což pro výpočetní program Pro Engineer znamená, že sestavu bere jako jeden celek. Tedy místa dotyku jsou brána jako veknutí. Toto provedení nemá na konečný výsledek příliš velký vliv. Nosnou desku, která je nahrazena jednodušším modelem o stejné tuhosti, jsem zatížil v levé zadní části silou  $F_y$ , kterou jsem ovšem rozložil do plochy  $S$ . Tím mi vznikl tlak  $p_y$ :

$$p_y = \frac{F_y}{S} = \frac{490,5}{7140} = \underline{\underline{0,07 MPa}}. \quad (54)$$



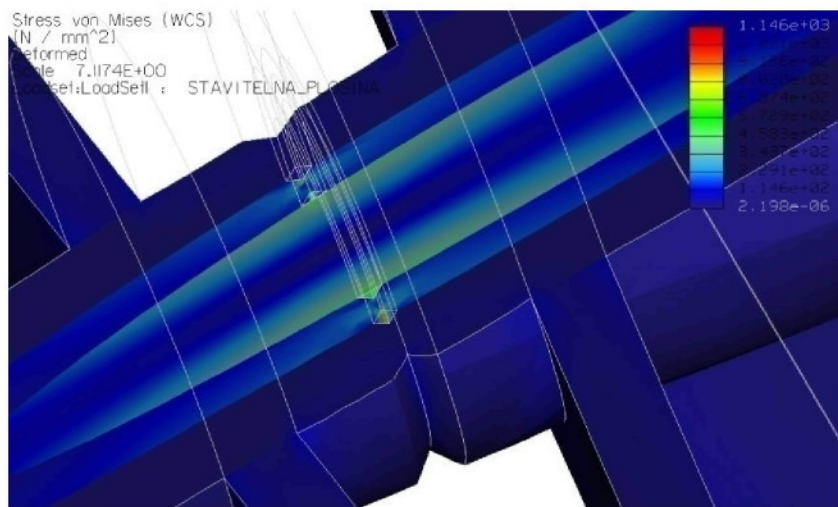
---

### **Obr. 3.17 Okrajové podmínky**

Dále jsem přidělil součástem příslušné materiály, jak jsem popisoval v *kapitole 3.5*.

Po provedení výpočtu vyšlo, že maximální ekvivalentní napětí je  $\sigma_{e1}=1146\text{ MPa}$ . To se ovšem koncentruje pouze na hraně kluzného pouzdra v místě křížení ramen a nezasahuje nijak do hloubky materiálu. Proto se není třeba obávat takto vysoké hodnoty.

Napětí  $\sigma_{e1}$  je znázorněno na *Obr. 3.18*



**Obr. 3.18 Koncentrace napětí**

Napětí, které se vyskytuje v celé tloušťce materiálu profilu, dosahuje velikosti  $\sigma_{e2}=114,6\text{ MPa}$  a je znázorněno na *obr. 3.19*. Tato hodnota je pro mne důležitá při výpočtu bezpečnosti. Nejvíce namáhaná jsou ramena, která jsou navržena z hliníkové slitiny. U hliníkových slitin se uvádí min. mez kluzu  $R_e=220\text{ MPa}$ . Proto výsledná bezpečnost  $k_5$  je:

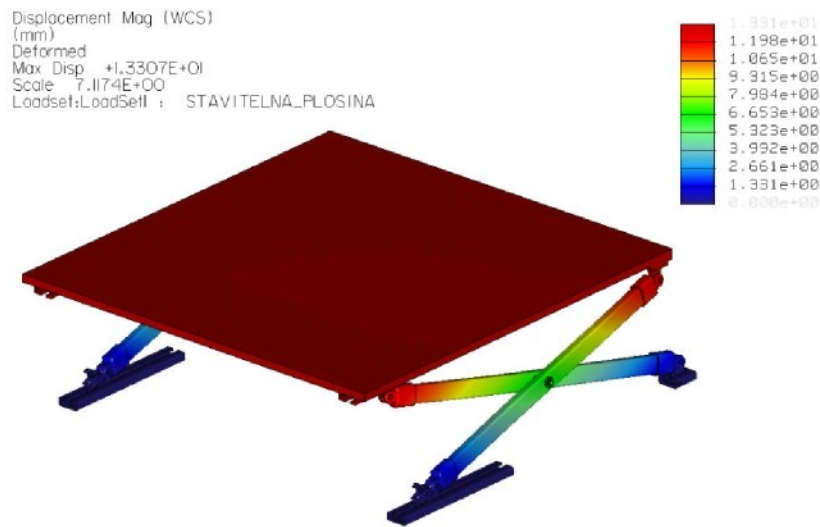
$$k_5 = \frac{R_e}{\sigma_{e2}} = \frac{220}{114,6} = 1,9. \quad (55)$$

Touto bezpečností sestava vyhovuje také při zatížení v bočním směru.



**Obr. 3.19** Napětí v celé plošině

Posuv, který má maximální hodnotu  $x_1=13\text{mm}$ , je ukázán na obr. 3.20. Na tomto obrázku je vidět, že nejvyšší hodnoty posunutí dosahují horní patky s nosnou deskou. Nejnižší hodnoty dosahují samozřejmě spodní profily tvaru C, jelikož jejich spodní plochy mají zamezeny posuvy. Velikost posunutí nemá vliv na funkčnost mechanizmu.

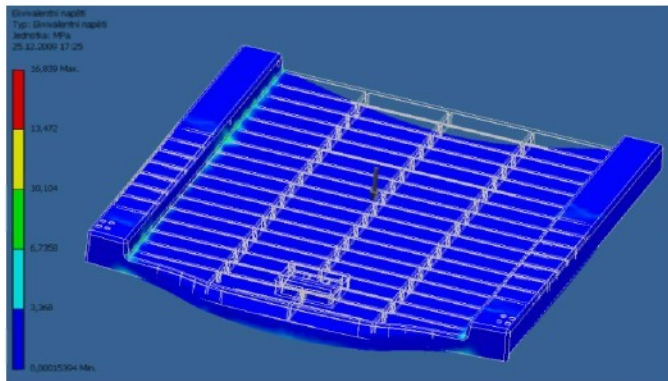


**Obr. 3.20** Posuv celé plošiny

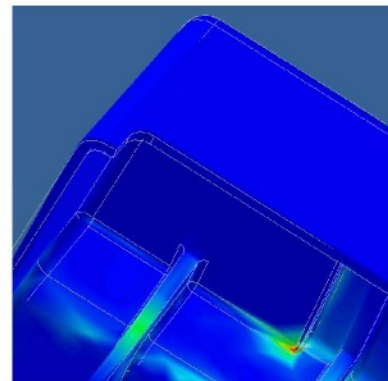
### 3.8 Pevnostní analýza nosné desky

Pro nosnou desku je nejnepříznivější zatížení silou  $F_z$  a to uprostřed, jelikož na přeních stranách podepřena profily a na zadních patkami. V těchto stykových plochách s profily a s horními patkami jsem zamezil posuvy stejně jako v případě sestavy.

Následně po zatížení jsem zjistil maximální ekvivalentní napětí  $\sigma_{e3}=16,8\text{MPa}$ . Toto napětí se nachází na hraně poblíž místa upevnění horní patky a je znázorněno na obr. 3.22. Z obr. 3.21 je patrné, že na větší části desky je napětí malé, až na přechody kolem místa uložení rámů.

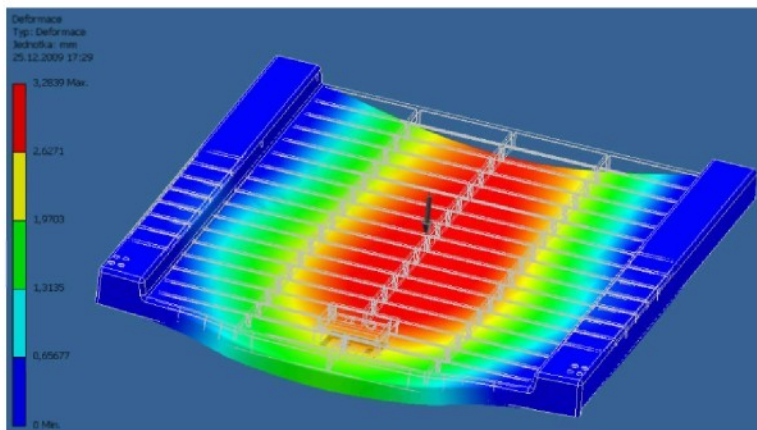


*Obr. 3.21* Napětí v desce



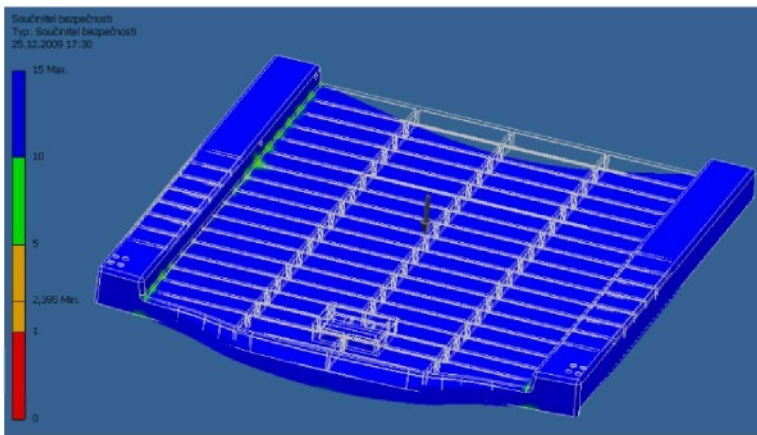
*Obr. 3.22* Oblast max. napětí

Posuv nosné desky, který je znázorněn na obr.3.23, dosahuje maximální hodnoty  $x_2=3,3\text{mm}$  v oblasti působení zatěžující síly.



*Obr. 3.23* Deformace desky

Na obr. 3.24 je znázorněná bezpečnost, která má minimální hodnotu  $k_6=2,4$ . Nachází se na stejném místě jako maximální napětí, což vyplývá z výpočtů.



**Obr. 3.24** Bezpečnost desky

Velikost maximálního napětí a posuvu je ovlivněna konstrukcí desky. Tím je méněno například tloušťka stěn nebo výška a počet žebrování. Dále jsou tyto hodnoty závislé na použitém materiálu, v tomto případě plastu ABS.

## 4. Obdobné návrhy konstrukce plošiny

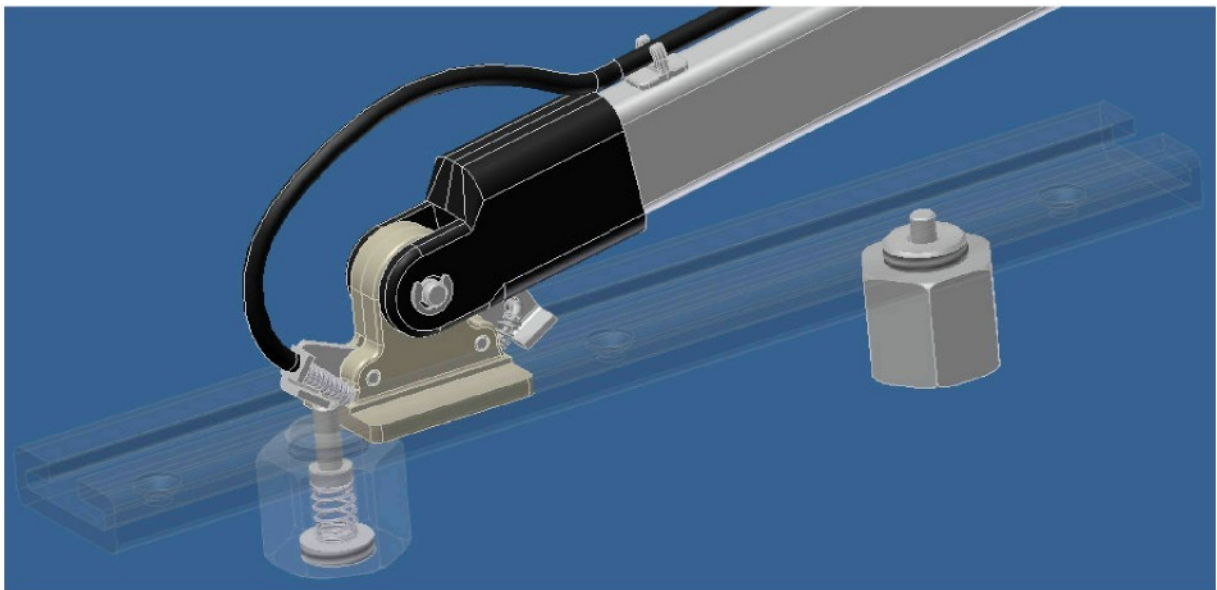
U obdobných návrhů jsem se zaměřil na konstrukci předních spodních patek, které umožňují aretaci výškové polohy plošiny. Ostatní části mechanizmu jsou skoro totožné. Tedy až na ovládání zmíněných patek. Což se odvíjí od jejich konstrukce.

### 4.1 První obdobné řešení

Patka se pohybuje v profilu tvaru C. Ten je opatřen třemi děrami pro záplustné šrouby, kterými se upevní ke dnu zavazadlového prostoru. Dále dvěma děrami se závitem. Ty slouží k přepojení pouzder se zásuvnými čepy, jejichž funkce je pro zamezení pohybu patky ve směru stlačování plošiny při zatížení. Čep je vložen do pouzdra a je držen ve vysunuté poloze tlačnou pružinou. Zajištěnou ze spodní strany víkem.

K odjištění aretace slouží plechové přítlačné nožky, které jsou připevněny k patce pomocí čepů a je jim umožněn rotační pohyb. Dírou v první nožce prochází skrize patku

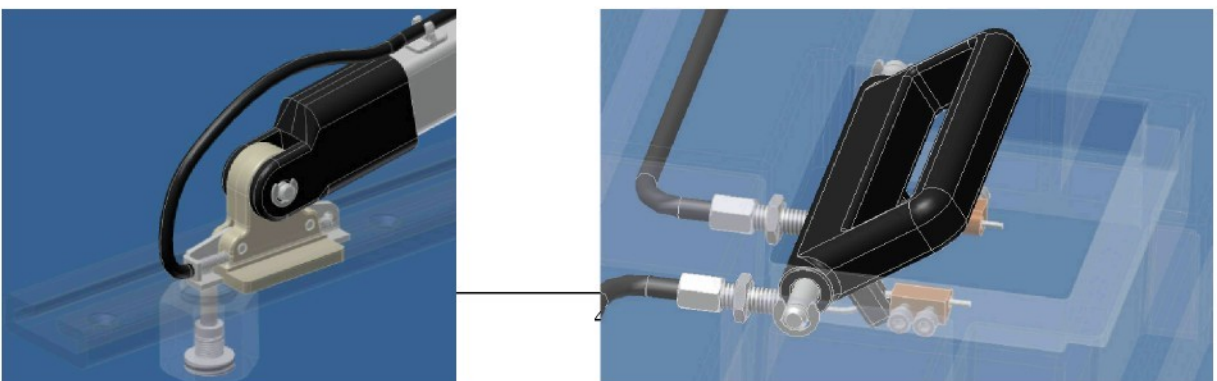
k druhé ovládací lanko. To je na konci opatřeno olověným nálitkem Z tvaru. Tím je docíleno uchycení k zadní nožce. Ta i s přední jsou drženy ve zvednuté poloze tlačnými pružinami. Lanko dále pokračuje v bovdenu k madlu na nosné desce.



**Obr. 4.1** Přední spodní patka prvního obdobného řešení

#### 4.1.1 Znázornění pohybu madla a přítlačných nožek

Upevnění madla je obdobné, jako u hlavní varianty stavitelné plošiny. Pouze jeho délka je menší z funkčních důvodů. A zároveň je v desce vytvořen jakýsi záhyb, sloužící k jejímu uchopení. Pokud má být umožněn patce pohyb, musí se jednou rukou uchopit deska v prostoru madla a druhou ho vyklopit. Tím se docílí napnutí lanka, stlačení pružin a nožek. Nožka, která se právě nachází nad čepem, ho zatlačí do pouzdra. Při pohybu k dalšímu čepu se madlo povolí a pouze se jednou rukou nastavuje výška plošiny. Narazí-li patka na čep, musí být druhou rukou znova vyklopeno, aby došlo k zmiňovaným účinkům. Po přejetí patky je čep vytlačen pružinou a zamezuje jejímu pohybu.



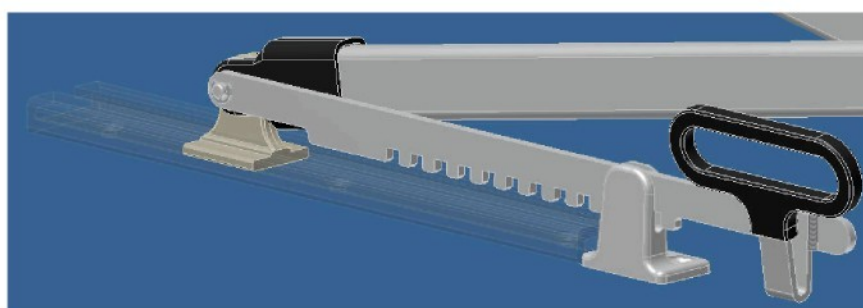
---

*Obr. 4.2* Nožky v akční poloze

*Obr. 4.3* Madlo v akční poloze

## 4.2 Druhé obdobné řešení

Posuvný pohyb patky je opět v profilu tvaru C. Ten je opatřen pouze třemi děrami pro záplustné šrouby. K čepu, který spojuje rameno a patku, je připevněna pomocí pojistného třmenového kroužku plochá tyč. Ta je opatřena zářezy, které slouží k aretaci polohy plošiny pomocí pevné patky upevněné za profilem. Dále je k ní přivařena druhá plochá tyč ohnutá do tvaru V, aby bylo umožněno dosednutí plošiny do polohy 0. Potom je tedy zaručeno, že

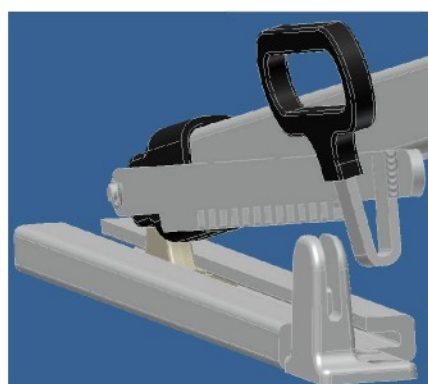


madlo, které je na ní upevněno, bude stále přístupné.

*Obr. 4.4* Přední spodní patka druhého obdobného řešení

### 4.2.1 Znázornění pohybu ploché tyče

Patky s plochou tyčí jsou jak na levé tak i na pravé straně. Proto při výškové stavitelnosti plošiny se musí uchopit madla do obou rukou. Nejprve se pohybem vzhůru uvolní stávající poloha a poté pohybem rukou směrem k tělu posunuji plochou tyč s patkou.



Pokud výšková poloha vyhovuje, přitlačíme madlo směrem k pevné patce, dokud do ní nezapadnou zářezy. V místě styku je tvarová vazba.

*Obr. 4.5* Plochá tyč v akční poloze

## 4.3 Porovnání všech tří variant

---

Při porovnání jednotlivých variant chci zdůraznit výhody hlavní konstrukce, které mě vedli k jejímu výběru.

Hlavní a druhá varianta si jsou velice blízké konstrukčním řešením, jak patek, tak i provedením a umístění ovládacího madla. Ovšem hlavní varianta umožnuje mnohem více nastavitelných poloh. Je to díky konstrukci dolní přední patky, která je vybavena rohatkou. Ta zapadá do otvorů v lyžině, jenž jsou jednoduše vytvořeny např. vypálením laserem. Na rozdíl od druhé varianty, u které je zamezení pohybu patky provedeno pomocí výsuvných čepů z pouzder. Ta jsou zašroubována do lyžin. Tímto se konstrukce zesložituje a tím i prodražuje. Provedení madla v hlavní variantě je jednodušší vzhledem k tomu, že u druhé varianty je zapotřebí při výškové stavitelnosti použít obou rukou, jelikož jedna ruka musí ovládat madlo a tím přitlačné plošky. Druhá ruka reguluje výšku desky za pomocí úchytu, vytvořeném v nosné desce u ovládacího madla. U hlavní varianty je vše ovládáno jednou rukou.

U třetí varianty se sice zjednoduší nosná podlaha, která nemusí umožňovat montáž madla. Díky tomuto jsou nepotřebné přívodní bovdeny. Tyto dvě výhody jsou však negovány pevnou patkou, která zůstává po vyjmutí plošiny v zavazadlovém prostoru. Zároveň však musí být použito obou rukou k výškové obsluze.

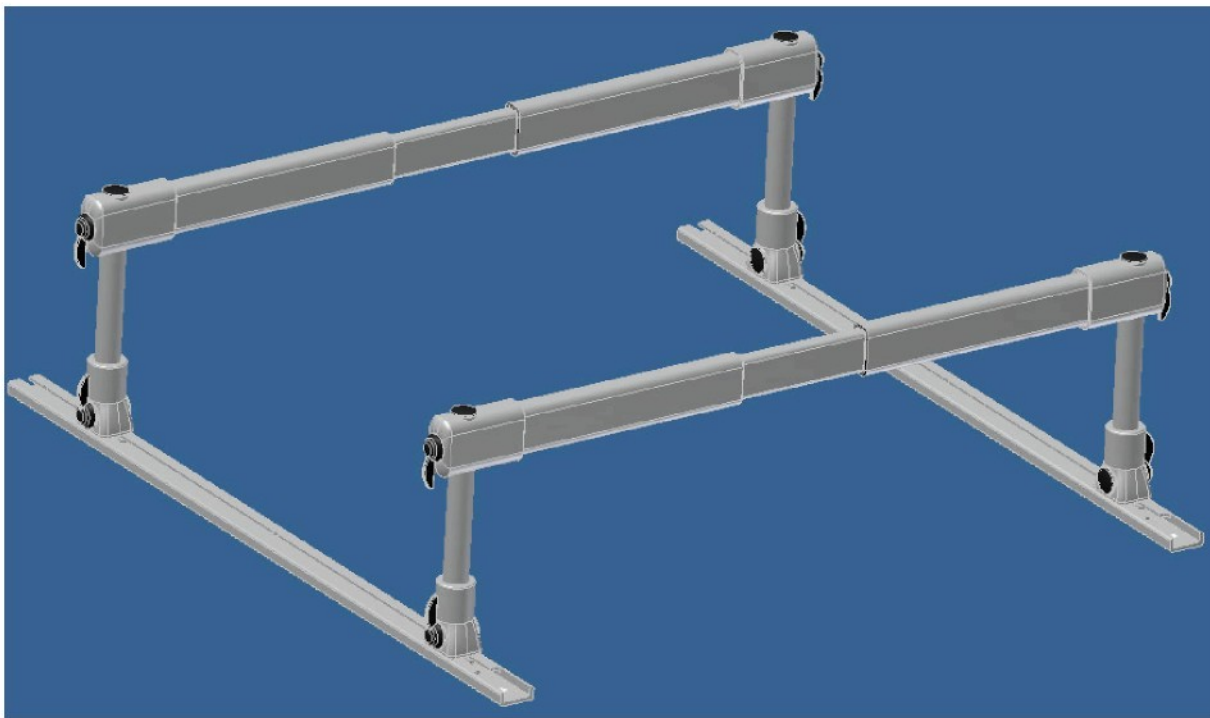
Při výběru hlavní varianty jsem tedy kladl důraz na jednoduchost, ale zároveň i na určitý komfort při používání.

## 5. Teleskopické tyče

### 5.1 Základní popis funkce

Teleskopické tyče slouží k zamezení pohybu nákladu v zavazadlovém prostoru. Díky své konstrukci umožňují zachycení zavazadel téměř v každé jejich pozici při akceleraci nebo zpomalení vozidla. Jelikož jsou tyče kompatibilní s podlahovou plošinou, je jim umožněna i výšková stavitelnost. Proto mohou být používané při polohách podlahy 0 a 1. Aby byla splněna třetí varianta a přístup k rezervě, jsou tyče rychle přestavěny do stran.

Tyče jsou složeny z lyžin tvaru C, které slouží k podélnému pohybu sloupků. Sloupkům umožňuje jejich konstrukce aretaci polohy. Tyče se dále skládají ze tří profilů obdélníkového průřezu. Dva jsou nalisovány v pouzdře pohybujícím se po nosné trubce. Pouzdro je také opatřeno aretací. Poslední profil je zasunut do zmiňovaných dvou profilů. Tím je docíleno příčného i úhlopříčného nastavení.



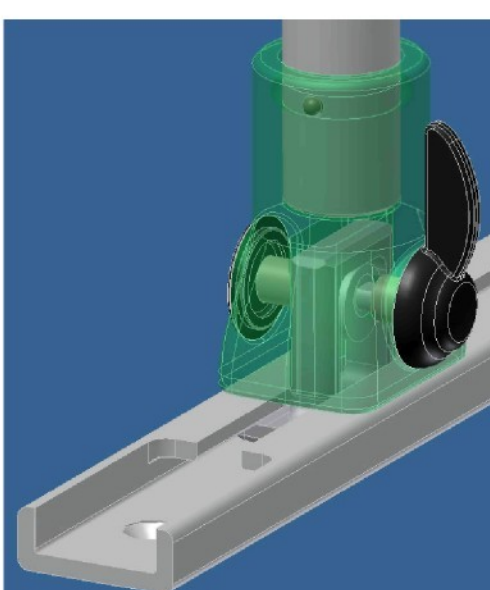
**Obr. 5.1** Teleskopické tyče

## 5.2 Popis konstrukce

Abych přiblížil konstrukci teleskopických tyčí, budu popisovat jednotlivé oblasti obdobně jako u stavitelné plošiny.

### 5.2.1 Oblast sloupku a lyžiny

Lyžina je opatřena třemi děrami pro šrouby se zápustnou hlavou. Ty nám umožňují její upevnění k podlaze. Na jednom konci je vyfrézován obdélníkový otvor pro nasazení sloupku s přitlačnou ploškou. Sloupku je umožněn posuvný pohyb. Pro jeho zamezení slouží natočení excentru, který přitlačí plošku k profilu z jedné strany a spodní část sloupku z druhé strany. Vzniká tedy třecí vazba ze dvou stran. Excentr je nalisován na hřídeli



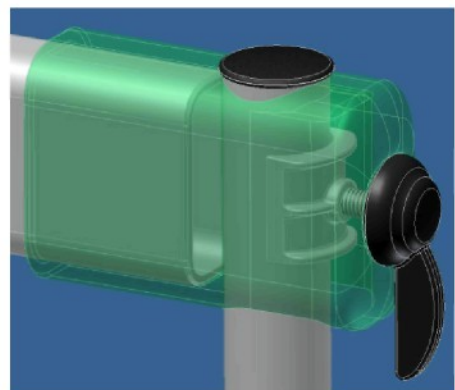
---

s odfrézovanou částí kruhového průřezu zhruba do poloviny délky z důvodu zamezení vzájemného pootočení. Hřídel je uložena v kluzných pouzdrech z polyamidu nalisovaných ve sloupku. Třmenový pojistný kroužek brání jeho vysunutí. Na jedné straně je zakryt plastovou krytkou a na druhé ovládací páčkou. Nosná trubka je vložena do sloupku a zajištěna rozpěrným členem.

**Obr. 5.2** Sloupek a lyžina

### 5.2.2 Oblast pouzdra

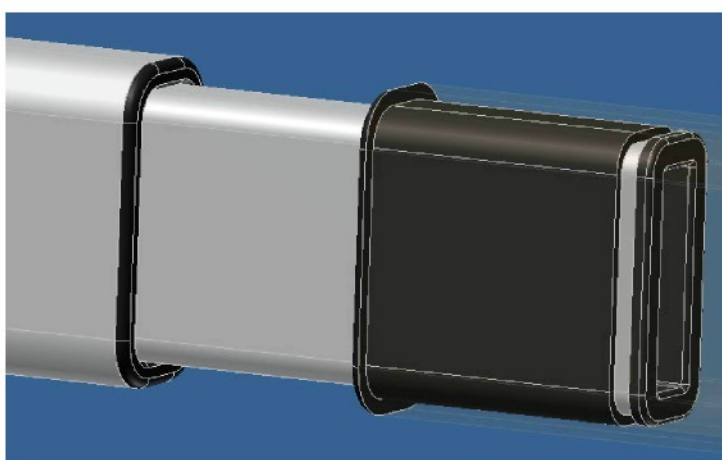
Pouzdro je posuvné po trubce uložené ve sloupku, která je na horním konci opatřena plastovou záslepkou bránící úplnému vysunutí pouzdra. K nastavení v určité výškové poloze slouží třecí plocha, která umožňuje přitlačnému šroubu volné otáčení. Šroub je upevněn v pouzdře opatřeném dírou se závitem. Profil obdélníkového průřezu a pouzdro jsou spojeny nalisováním.



**Obr. 5.3** Pouzdro

### 5.2.3 Oblast spojení profilů

V profilech, které jsou nalisovány do pouzder pohybujících se po nosné trubce, jsou nalisované kluzné vložky z polyamidu. Ty zaručují dobré kluzné vlastnosti a zároveň i potřebnou pevnost v tlaku při zatížení zavazadly. V těchto vložkách se pohybuje střední profil



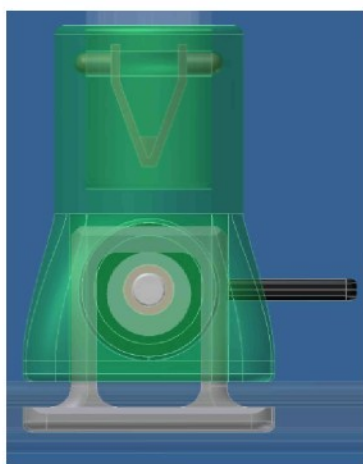
opatřený na obou koncích dorazy, které zabraňují úplnému vysunutí. Aby byla splněna podmínka smontovatelnosti, musí se nejprve na střední profil nasunout kluzné vložky. Poté nalisovat dorazy. A nakonec vložky nalisovat do okrajových profilů.

**Obr. 5.3** Spojení profilů

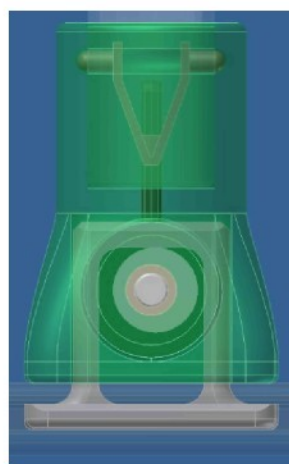
## 5.2.4 Pohyb přítlačné plošky

Na obr. 5.4 je znázornění uvolněného přítlačného mechanizmu. Ovládací páčka je vodorovně, což znamená, že přítlačná ploška je díky excentru uvolněna a mezi ní a stěnou profilu je mezera 1 mm. Nyní je sloupek pohyblivý. Zároveň je na obrázku vidět provedení zajištění trubky ve sloupku pomocí rozpěrného členu.

Excentr vyvodí maximální zdvih 2mm. Při pootočení páčky o  $90^\circ$ , jak znázorňuje obr. 5.5, dochází k třecí vazbě mezi přítlačnou ploškou a stěnou profilu, ale zároveň také mezi spodní plochou sloupku.



Obr. 5.4 Volná poloha



Obr. 5.5 Pevná poloha

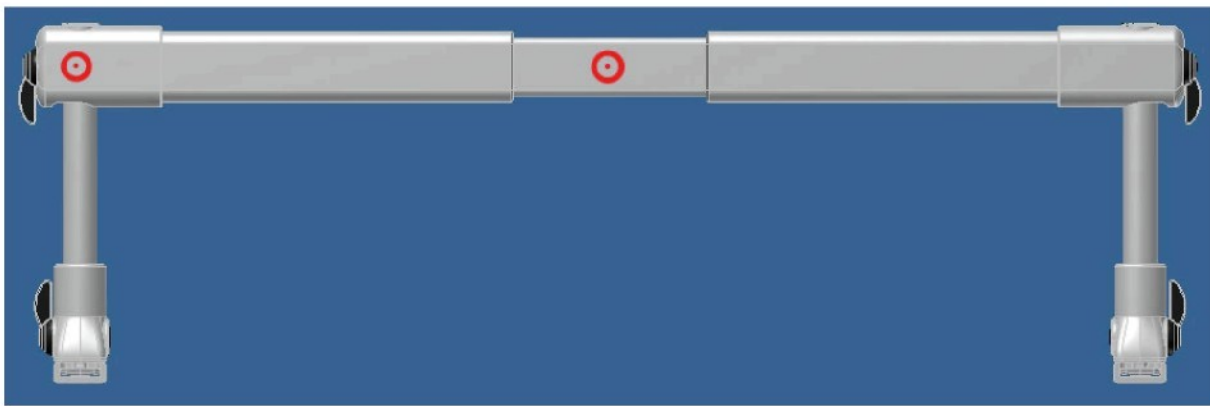
## 5.3 Výpočet hlavních nosných částí

Jelikož je plošina zatěžována hmotností  $m=50\text{kg}$ , musejí být i teleskopické tyče na tuto zátěž dimenzovány. Při zpomalení automobilu vzniká přetížení jedno g. Avšak pokud budu brát v úvahu zrychlení vozidla, v mém případě Škoda Octavia II Combi s nejvýkonnějším motorem, může být zrychlení z 0 - 100km/h za 7,3s. Po převedení do potřebného tvaru k výpočtu je zrychlení a:

$$a = \frac{v}{t} = \frac{100}{7,3 \cdot 1,36} = \underline{10,1 \text{m/s}^2}. \quad (56)$$

Proto budu teleskopické tyče dimenzovat na zátěž při akceleraci. Zatěžující síla  $F_x$  tedy bude:

$$F_x = m \cdot a = 50 \cdot 10,1 = \underline{505 \text{N}}. \quad (57)$$

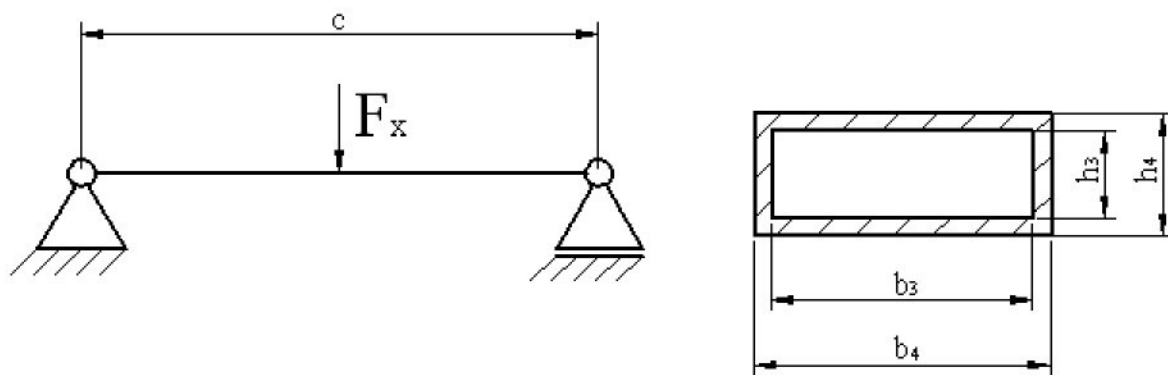


*Obr. 5.6* Znázornění působení síly.

Pro nosný profil je nejméně příznivé působení síly uprostřed. Naopak pro nosnou trubku na konci nosníku. Toto působení síly je znázorněno na *obr. 5.6*.

### 5.3.1 Nosný profil obdélníkového průřezu

Profil budu počítat jako nosník na dvou podporách. Jedné rotační a druhé posuvné. Zatěžující síla  $F_x$  působí tedy uprostřed. Nosník má průřez o rozměrech  $h_4=20\text{mm}$ ,  $h_3=14\text{mm}$  a  $b_4=50\text{mm}$ ,  $b_3=44\text{mm}$ . Jeho délka je  $c=911\text{mm}$ .



*Obr. 5.7* Schéma nosníku

Maximální ohybový moment nosníku  $M_{on\max}$  a průřezový ohybový modul  $W_{on}$  jsou:

$$M_{on\max} = \frac{1}{4} \cdot F_x \cdot c = \frac{1}{4} \cdot 505 \cdot 911 = 115014 N \cdot mm, \quad (58)$$

$$W_{on} = \frac{1}{6} \cdot (b_4 \cdot h_4^2 - b_3 \cdot h_3^2) = \frac{1}{6} \cdot (50 \cdot 20^2 - 44 \cdot 14^2) = 1896 mm^3. \quad (59)$$

Následně napětí v ohybu  $\sigma_{on}$ :

$$\sigma_{on} = \frac{M_{on\max}}{W_{on}} = \frac{115014}{1896} = 60,7 MPa. \quad (60)$$

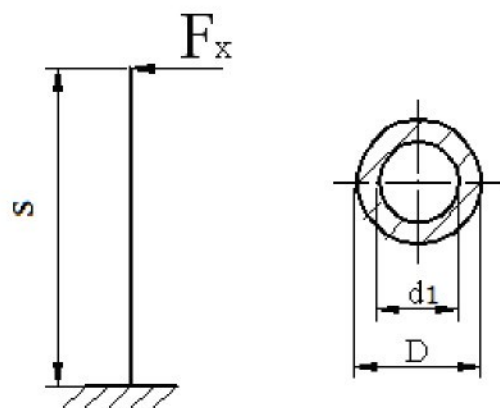
Nosník je navržen z hliníkové slitiny 42 4400. Dovolené napětí v ohybu je  $\sigma_{Do}=120 MPa$ . A výsledná bezpečnost  $k_7$ :

$$k_7 = \frac{\sigma_{Do}}{\sigma_{on}} = \frac{120}{60,7} = 2. \quad (61)$$

Touto bezpečností nosník vyhovuje. Na tuto bezpečnost je dimenzován prostřední nosník. Čili krajní nosníky ji mají ještě o něco vyšší.

### 5.3.2 Nosná trubka

Nepříznivým stavem je pro nosnou trubku při aretaci pohybu sloupku a působení zatěžující síly na jejím konci. Budu jí tedy počítat jako veknutý nosník se silou na konci o vnějším poloměru  $D=30mm$  a vnitřním  $d_1=24mm$ . Jeho výška je  $s=255mm$ .



**Obr. 5.8** Schéma veknutého nosníku

Maximální ohybový moment vetknutého nosníku  $M_{ov\max}$  a průřezový ohybový modul  $W_{ov}$  jsou:

$$M_{ov\max} = F_x \cdot s = 505 \cdot 255 = \underline{128775 N \cdot mm}, \quad (62)$$

$$W_{ov} = \frac{\pi}{32} \cdot \frac{D^4 - d_1^4}{D} = \frac{\pi}{32} \cdot \frac{30^4 - 24^4}{30} = \underline{1565 mm^3}. \quad (63)$$

Napětí v ohybu vetknutého nosníku  $\sigma_{ov}$  je:

$$\sigma_{ov} = \frac{M_{ov\max}}{W_{ov}} = \frac{128775}{1565} = \underline{82,3 MPa}. \quad (64)$$

Trubka je ze stejného materiálu jako profil. Dovolené napětí v ohybu tedy je  $\sigma_{Do}=120MPa$ . Bezpečnost  $k_8$  vychází:

$$k_8 = \frac{\sigma_{Do}}{\sigma_{ov}} = \frac{120}{82,3} = \underline{1,5}. \quad (65)$$

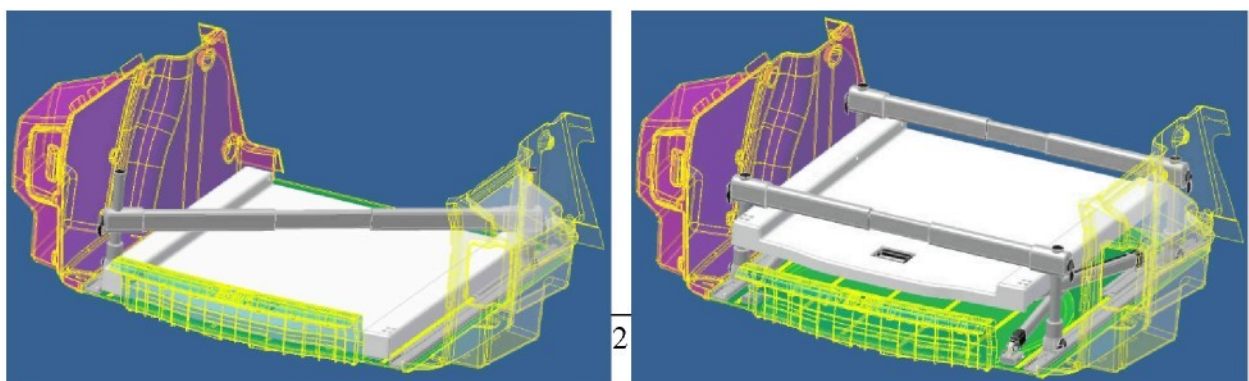
Tato bezpečnost je pro nosník vyhovující.

## 6. Kompatibilita stavitelné plošiny a teleskopických tyčí

Na následujících obrázcích je znázorněna kompatibilita obou návrhů, ale také možnost umístění teleskopických tyčí.

*Obr. 6.1* znázorňuje stavitelnou plošinu v poloze 0. Teleskopické tyče je tedy také možno výškově snížit. V tomto případě je použita pouze jedna řada tyčí, která je uložena napříč. Ale mohou být použity samozřejmě obě.

Na obr. 6.2 je stavitelná plošina v poloze 1. Teleskopické tyče jsou znázorněny ve dvou řadách a vysunuty na maximální možnou výšku. Rozdíl mezi dnem zavazadlového prostoru a spodní plochou nosné desky je 165mm.

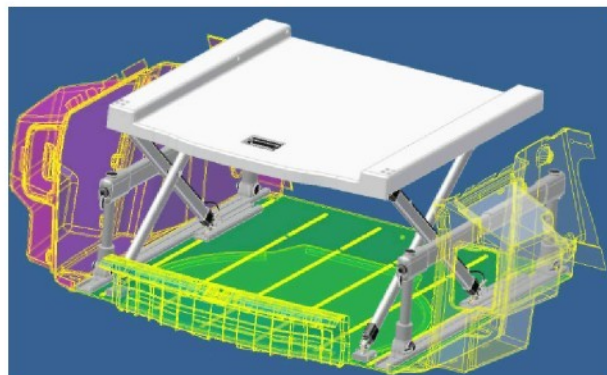


---

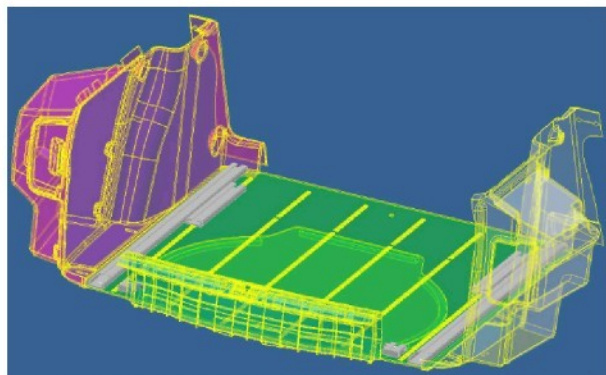
**Obr. 6.1** Kompatibilita 1

Stavitelná plošina v poloze 2 je znázorněna na obr. 6.3. Aby bylo možno plošinu na tuto výšku nastavit, musí se teleskopické tyče přesunout do stran. Sloupek zůstanou a jednoduchým vyjmutím nosných trubek se mechanizmus přesune. Vzniklá mezera mezi spodní plochou nosné desky a nákladové hrany má rozměr 340mm.

Na obr. 6.4 je ukázán volný prostor při vyjmutí všech přídavných konstrukcí.



**Obr. 6.3** Kompatibilita 3



**Obr. 6.4** Volný prostor

## 7. Závěr

Tato práce se zabývala variabilitou zavazadlového prostoru. Bylo zde provedeno porovnání stávajících konstrukčních prvků s ohledem na jejich funkci. Dále byl proveden návrh modifikace zavazadlového prostoru vozu střední třídy s polohovatelnou plošinou a teleskopickými tyčemi. Variabilita zavazadlového prostoru je pojmem obecným a pravděpodobně zahrnuje celou řadu modifikací, tedy nejen takové, jež jsou uvedeny v této práci.

Polohovatelná plošina byla navržena pro zvýšení výškové variability zavazadlového prostoru při uložení nákladu se třemi základními polohami. Ty mají sloužit k rozdělení zavazadlového prostoru dle potřeb vozidla. V poloze 0 je plošina složena a tím umožňuje naložení objemnějších zavazadel. U polohy 1 je nosná deska plošiny o něco výše, než je nákladová hrana, což umožňuje komfortnější vyjmání zavazadel. Poloha 2 slouží k uložení objemnějšího nákladu na dno a menšího na plošinu. Tím je docíleno, aby nedocházelo k poškození křehčích předmětů při kontaktu s hmotnějšími.

Teleskopické tyče jsou konstruovány tak, aby bylo co nejlépe možno zamezit zavazadlům pohyb v každé poloze. Díky jejich konstrukci jsou plně kompatibilní s plošinou. Což znamená, že umožňují zamezení pohybu zavazadel při poloze plošiny 0 a po výškovém

---

přestavění i v poloze 1. Aby bylo plošině umožněno nastavení polohy 2, je možno teleskopické tyče přesunout do stran nebo je vyjmout ze zavazadlového prostoru.

Nejen že plošina s teleskopickými tyčemi zvyšuje variabilitu zavazadlového prostoru, ale také umožňuje přístup k povinné výbavě vozidla. Pokud by tyto variabilní prvky byly z nějakých příčin ve vozidle nežádoucí lze je jednoduše demontovat.

Cílem bylo vyhotovení podkladů pro firmu Swell, spol. s r.o. k případné aplikace návrhu v konstrukci zavazadlového prostoru vozu Škoda Octavia II Combi.

## **Seznam použité literatury a softwaru:**

### **Literatura:**

- [1] František Vlk: Stavba motorových vozidel; VLK – nakladatelství a vydavatelství; Brno 2003
- [2] Lubomír Pešík: Části strojů, stručný přehled; 2. vydání; TUL; Liberec 2005
- [3] Zdeněk Pustka: Základy konstruování; 1. vydání; TUL; Liberec 2004
- [4] Jan Leinveber, Jaroslav Řasa, Pavel Vávra: Strojnické tabulky; 3. vydání; Scientia; Praha 1999
- [5] Interní materiály firmy Swell, spol s r.o.
- [6] <http://www.ludeco.blog.cz/0803/typy-karoserii-osobnich-automobilu>
- [7] <http://www.alunet.cz/>
- [8] <http://www.ebk.cz/technicke-plasty/silon-polyamid-pa-6>

- 
- [9] <http://www.plastovesoucastky.cz/index.php?hash=3dacf4520da4b4b72ce4237f63489053&group=kluzna-loziska>
  - [10] <http://www.haberkorn.cz/strojni-a-zajistovaci-prvky/>
  - [11] <http://www.auto.cz/>
  - [12] <http://www.renault.cz/>
  - [13] <http://www.pruzinarnaseckar.cz/>
  - [14] <http://www.ocelovalana.cz/>
  - [15] <http://www.author.cz/>

**Software:**

AutoCAD 2008

Autodesk Inventor 2008

Catia V5R16

Pro/ENGINEER wildfire 4.0

**Seznam příloh:**

Přílohou této práce je výkresová dokumentace hlavní varianty stavitelné plošiny. Je tvořena jedním výkresem sestavy, dvěma výkresy podsestav a vybranými výrobními výkresy dle pokynů konzultanta.

Výkresy jsou označeny jednotným systémem: KVM-DP-605-XX. Tato dokumentace je obsažena i na přiloženém CD (pdf, idw).

KVM-DP-605-00 ..... sestava hlavní varianty stavitelné plošiny

Další výkresy jsou označeny:

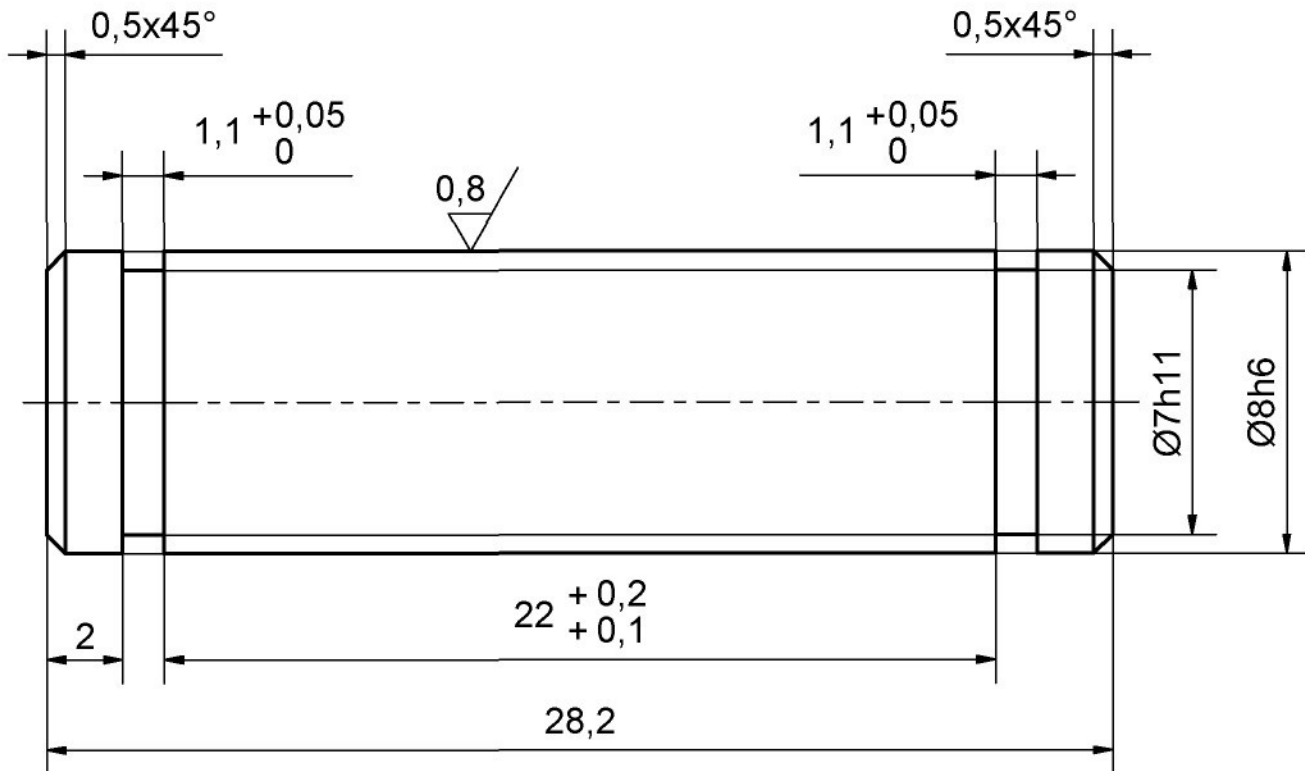
KVM-DP-605-01	.....RAMENO
KVM-DP-605-02	.....DOLNÍ LYŽINA
KVM-DP-605-03	.....DOLNÍ LYŽINA ZADNÍ
KVM-DP-605-04	.....HORNÍ LYŽINA

---

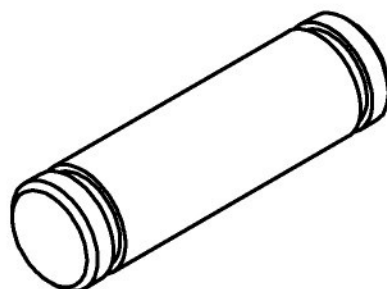
KVM-DP-605-05	.....PATKA
KVM-DP-605-06	.....PATKA 1
KVM-DP-605-07	.....ZADNÍ HORNÍ PATKA
KVM-DP-605-08	.....ROHATKA
KVM-DP-605-09	.....ČEP ROHATKY
KVM-DP-605-10	.....ČEP PATKY
KVM-DP-605-11	.....ČEP STŘED
KVM-DP-605-19	.....RAMENO SVAŘENEC
KVM-DP-605-20	.....POUZDRO

[Click Here to upgrade to  
Unlimited Pages and Expanded Features](#)

1,6 ✓ (✓)



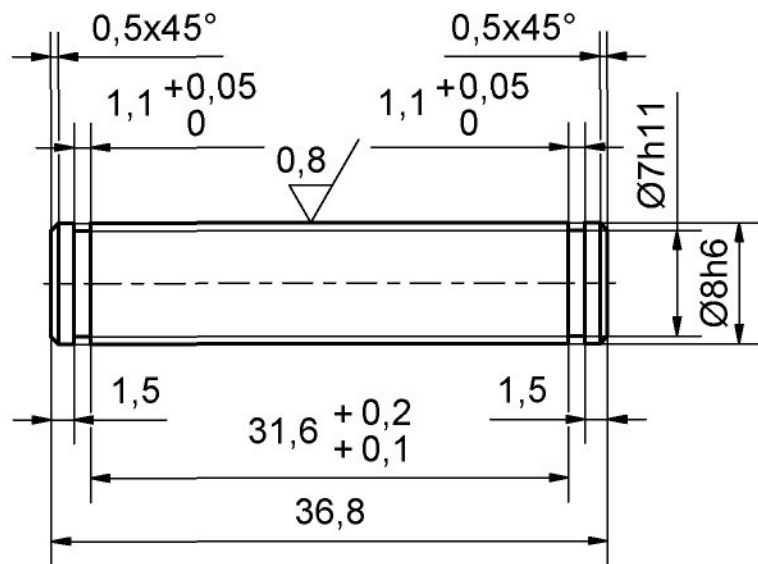
ISO (2 : 1)



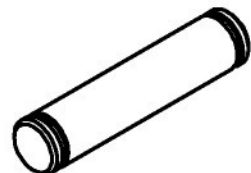
Rozm.-Polot.	TYČ Ø12 - 32		ČSN 42 5510					PŘESNOST ISO 2768-mK TOLEROVÁNÍ ISO 8015 PROMÍTÁNÍ				
			c)		Materiál	11 600	Tř. odp.	001	Č. hm.	kg	Hr. hm.	kg
			a)									
Změna	Datum	Index	Podpisy									
Měřítko	Navrh											
5:1	Kreslil	JIŘÍ SKŘIVAN										
	Přezkoušel											
Č. seznamu	Technolog											
Č. sestavy	Normalizace											
Starý výkres	Schválil											
Nový výkres	Datum											

**TU v Liberci**  
**ČEP PATKY**  
**KVM-DP-605-10**

1,6 ✓ (✓)

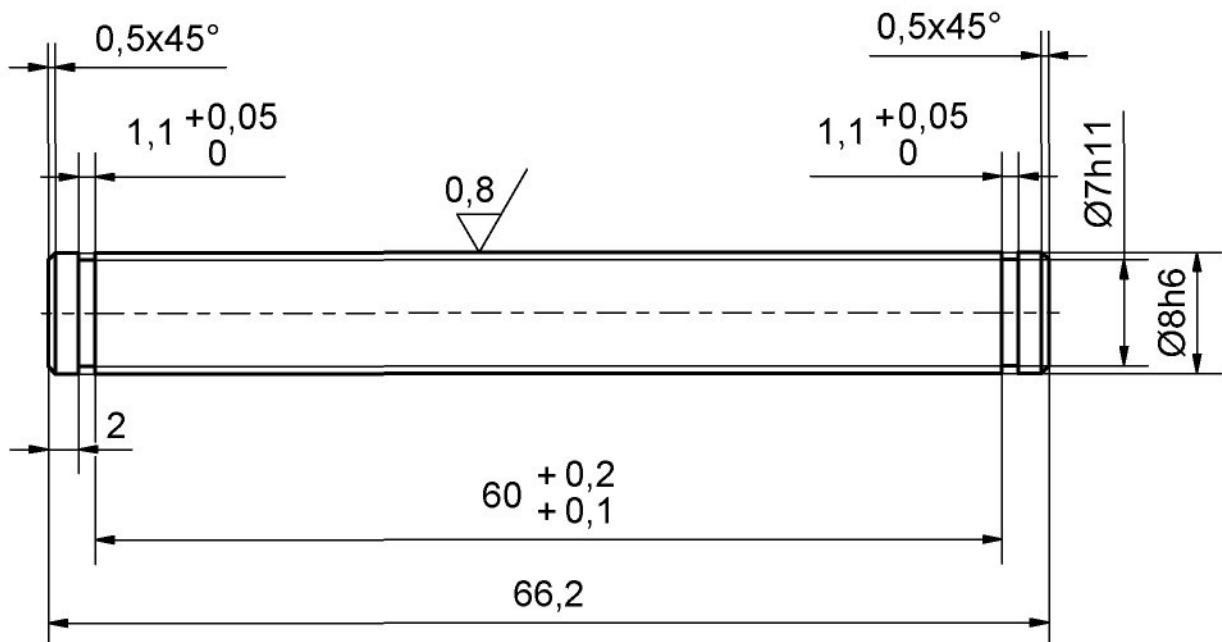


ISO ( 1 : 1 )

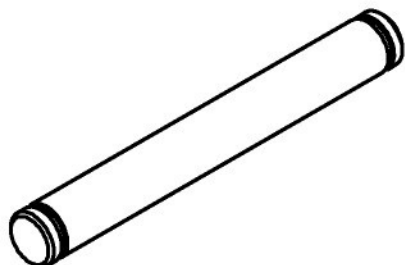


Rozm.-Polot.	TYČ Ø12 - 40						ČSN 42 5510			PŘESNOST ISO 2768-mK TOLEROVÁNÍ ISO 8015 PROMÍTÁNÍ
		c)		Materiál	11600	Tř. odp.	001			
		b)		Č. hm.	kg	Hr. hm.	kg			
		a)						TU v Liberci ČEP ROHATKY KVM-DP-605-09	List	
Měřítko	Změna	Datum	Index	Podpisy						
2:1		Navrhli								
	Kreslili	JIŘÍ SKŘIVAN								
	Přezkoušel									
Č. seznamu		Technolog								
Č. sestavy		Normalizace								
Starý výkres		Schválil								
Nový výkres		Datum								

1,6 ✓ (✓)



ISO ( 1 : 1 )



Rozm.-Polot.	TYČ Ø12 - 70		ČSN 42 5510					PŘESNOST ISO 2768-mK TOLEROVÁNÍ ISO 8015 PROMÍTÁNÍ		
			c)		Materiál	11 600	Tř. odp.	001		
			b)		Č. hm.	kg	Hr. hm.	kg		
Změna	Datum	Index	a)							
Měřítko	Navrh									
2:1	Kreslil	JIŘÍ SKŘIVAN								
	Přezkoušel									
Č. seznamu	Technolog									
Č. sestavy	Normalizace									
Starý výkres	Schválil									
Nový výkres	Datum									

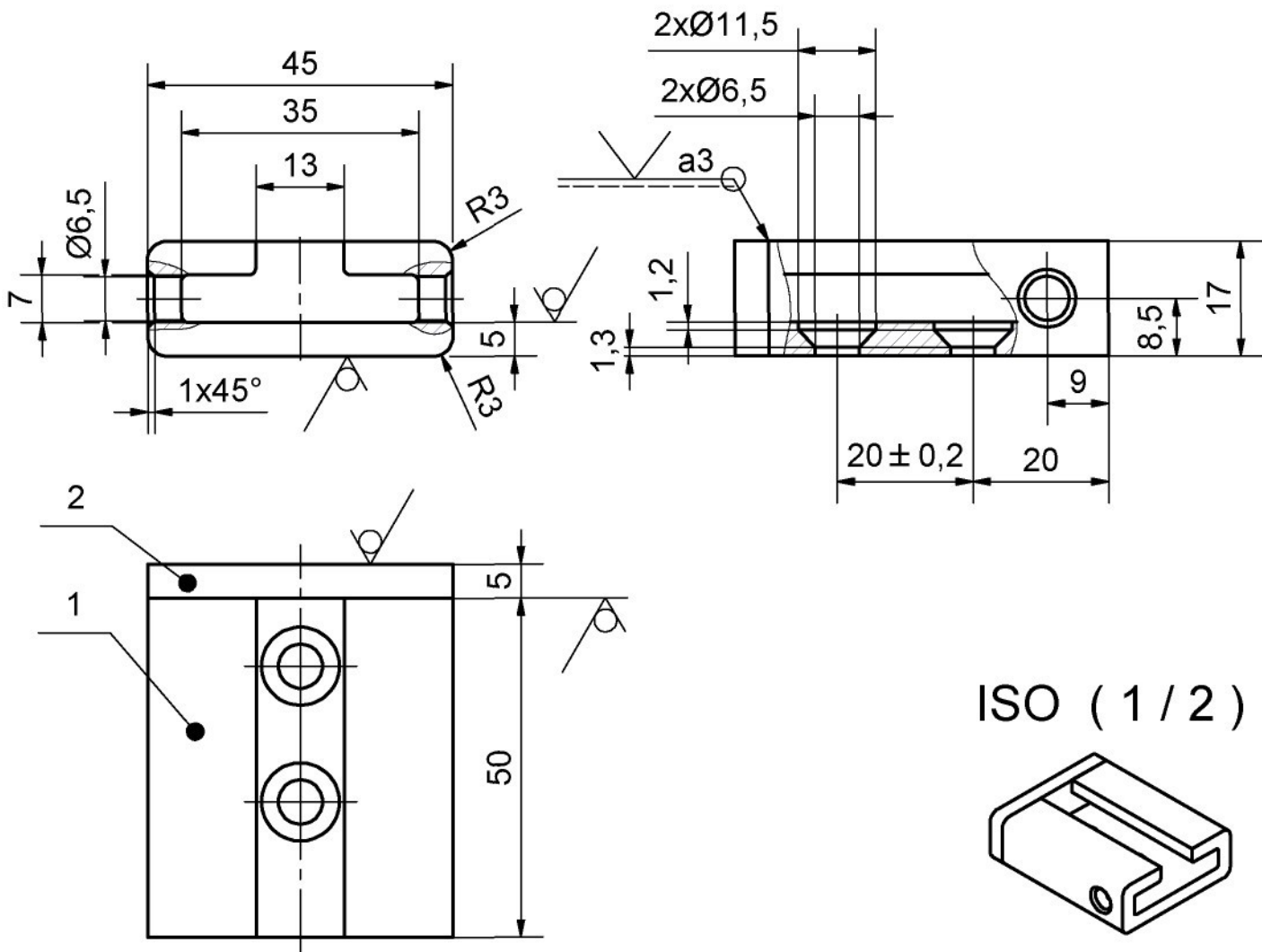
**TU v Liberci**

**ČEP STŘED**

**KVM-DP-605-11**

[Click Here to upgrade to  
Unlimited Pages and Expanded Features](#)

3,2 ✓ (✓)



### NEKÓTOVANÉ RÁDIUSY R1

2	PL 45x17x5	ALUNET	1
1	TYČ C 45x5-55	ALUNET	1
ODK.	OZNAČENÍ	POLOTOVAR	ČÍS. ZÁSOBNÍKU
	VÝKRES	MATERIÁL	MN. POZNÁMKA
Rozm.-Polot.			JED.

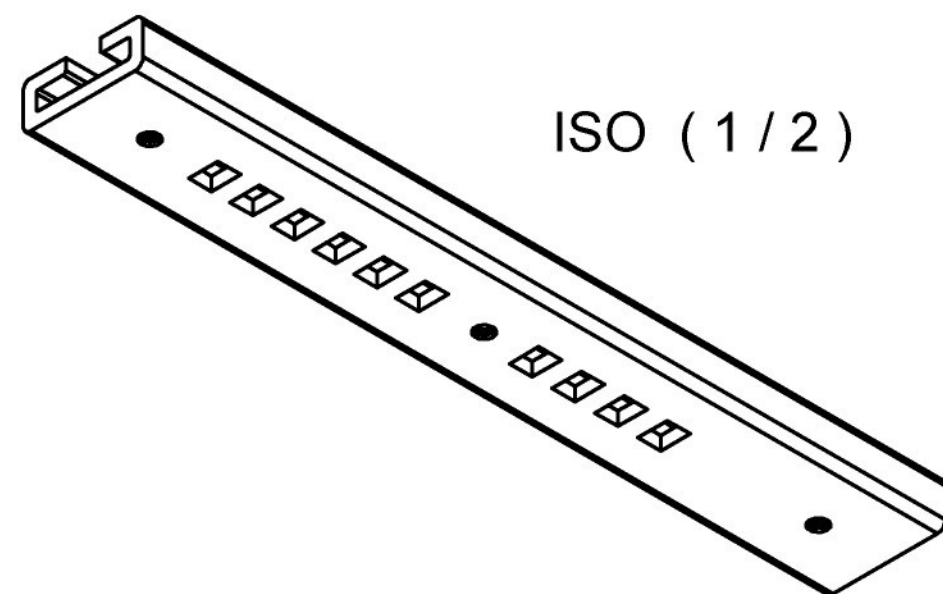
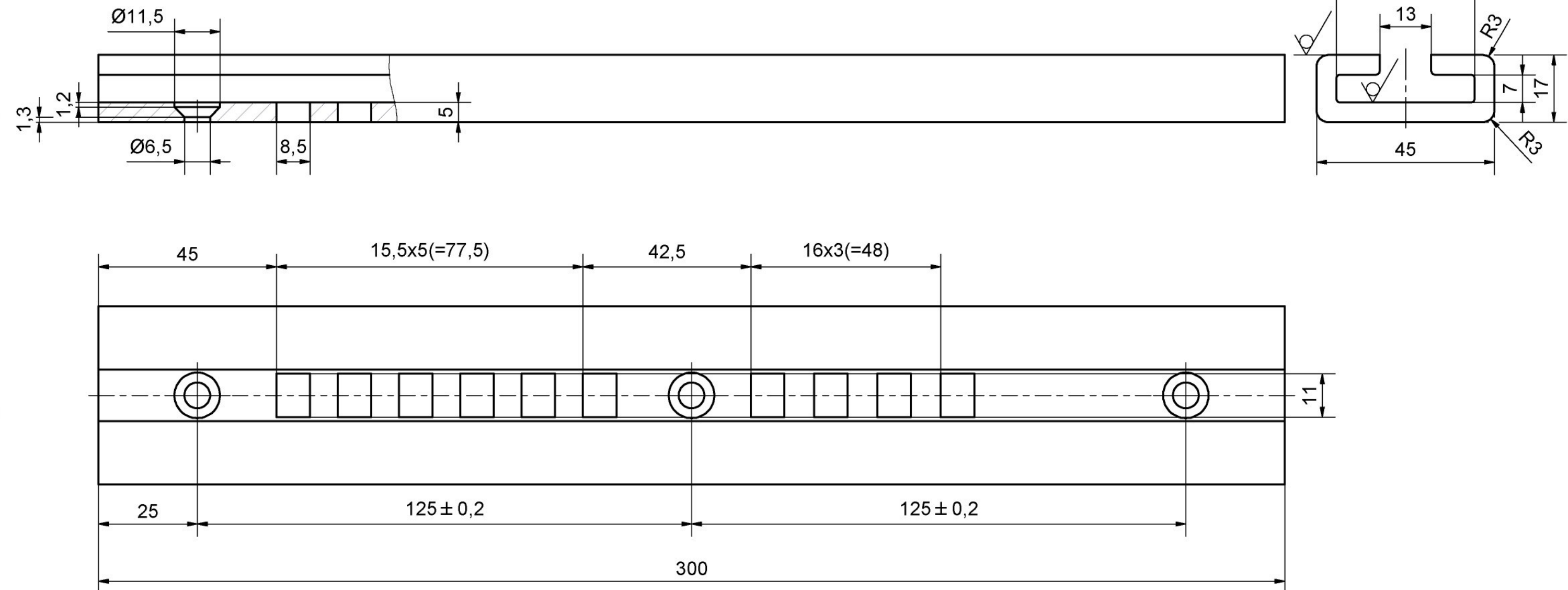
PŘESNOST ISO 2768-mk  
TOLEROVÁNÍ ISO 8015  
PROMÍTÁNÍ

**TU v Liberci**

DOLNÍ LYŽINA ZADNÍ

**KVM-DP-605-03**

Měřítko	Změna	Datum	Index	Podpisy	Název	Typ	Číslo výkresu	Listů	List
1:1									
Č. seznamu		Technolog							
Č. sestavy		Normalizace							
Starý výkres		Schválil							
Nový výkres		Datum							



#### NEKOTOVANÉ RÁDIUSY R1

Rozm.-Polot.	TYČ C 45x5-305						ALUNET			PŘESNOST ISO 2768-mK
			c)		Materiál	42 4400	Tř. odp.	818	TOLEROVÁNÍ ISO 8015	
			b)		Č. hm.	kg	Hr. hm.	kg	PROMÍTÁNÍ	
Měřítko		a)								
1:1	Změna	Datum	Index	Podpisy						
		Navrh								
		Kreslil	JIŘÍ SKŘIVAN							
		Přezkoušel								
Č. seznamu		Technolog								
Č. sestavy		Normalizace								
Starý výkres		Schválil								
Novy výkres		Datum								
		Listů								
		1								

**TU v Liberci**  
**DOLNÍ LYŽINA**  
**KVM-DP-605-02**

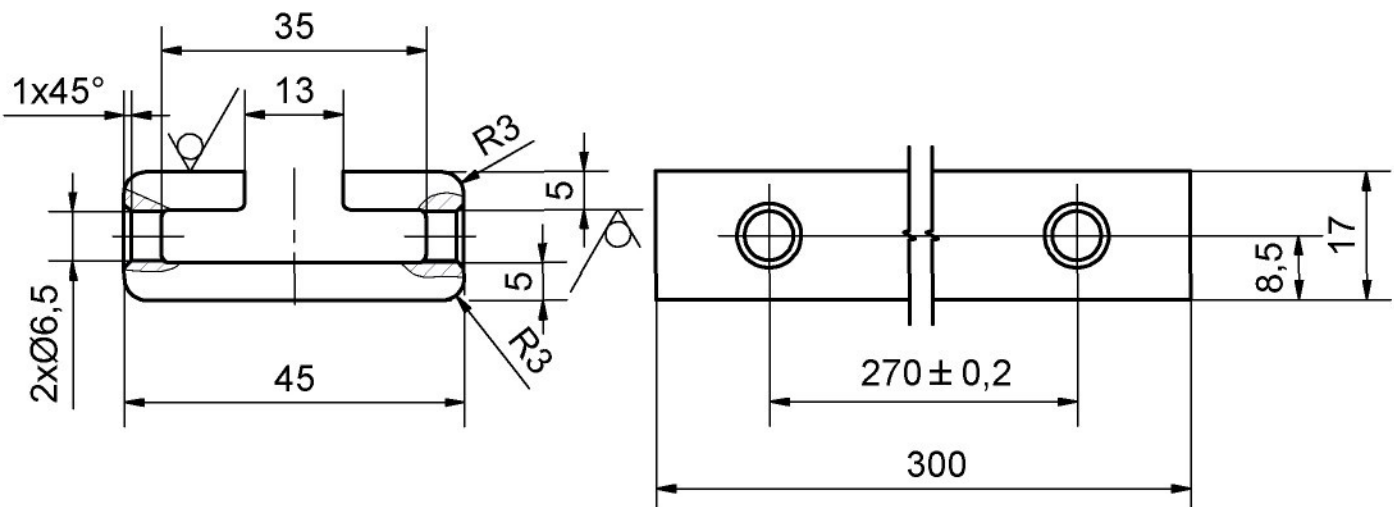


PDF Complete

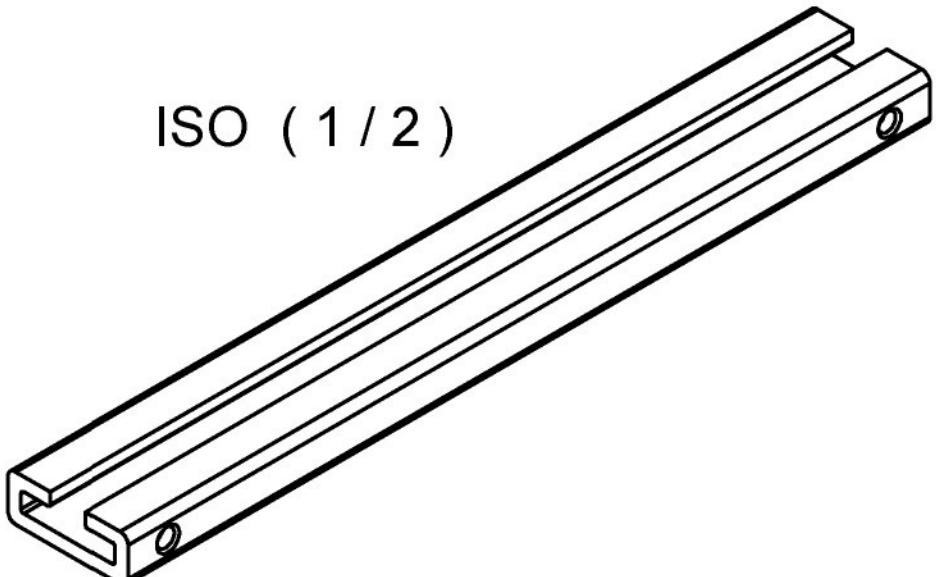
*Your complimentary  
use period has ended.  
Thank you for using  
PDF Complete.*

**[Click Here to upgrade to  
Unlimited Pages and Expanded Features](#)**

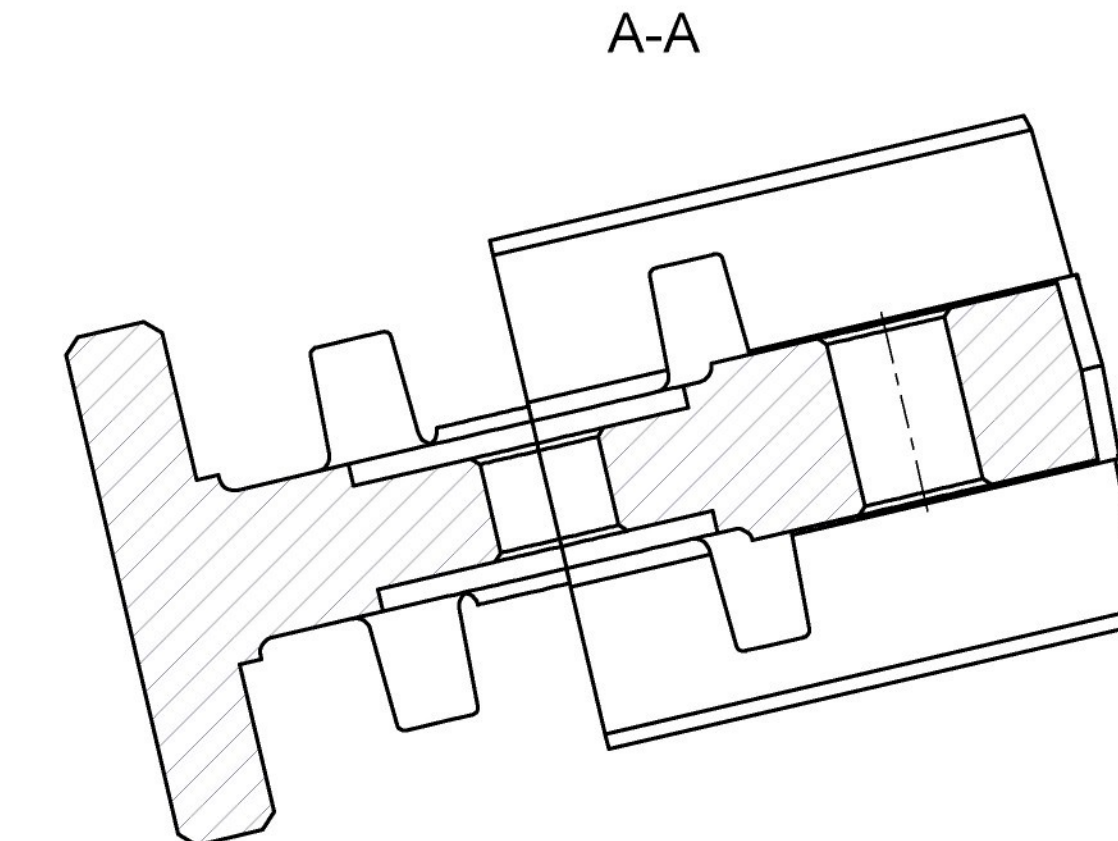
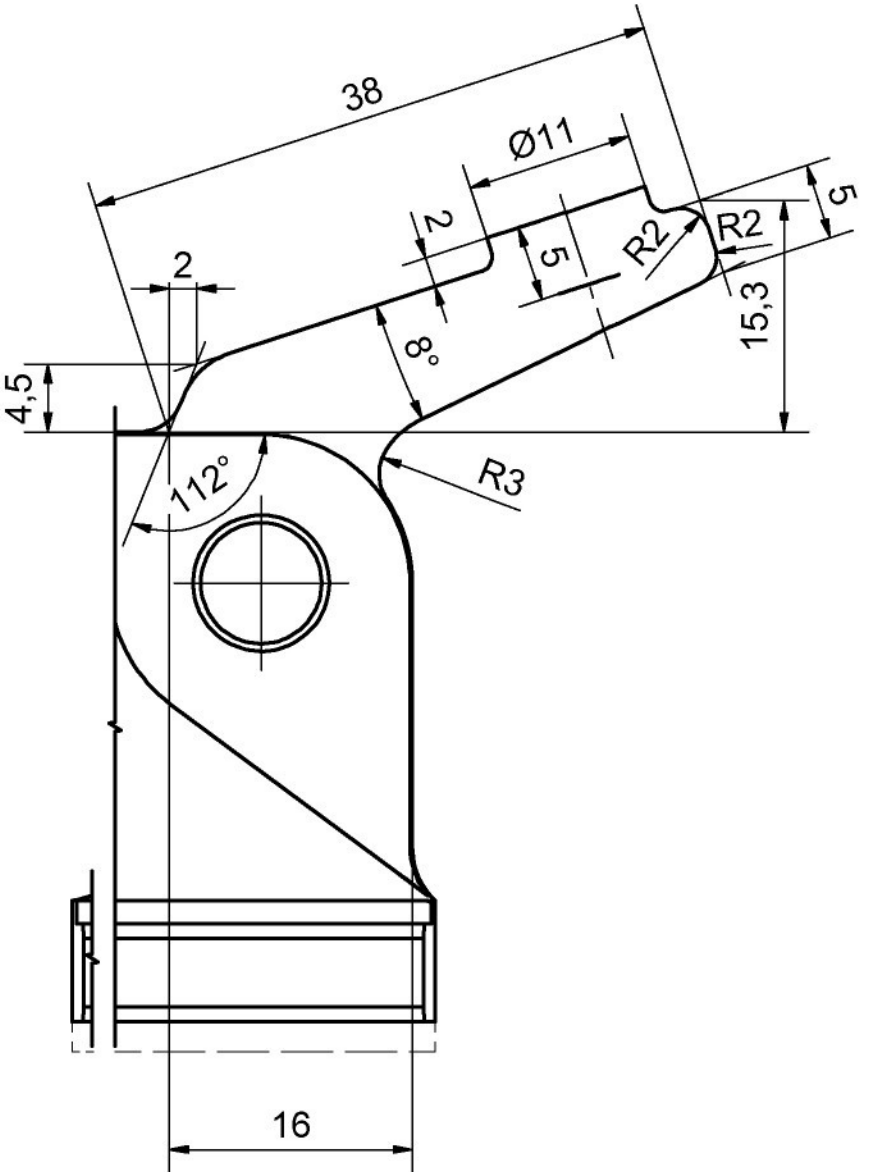
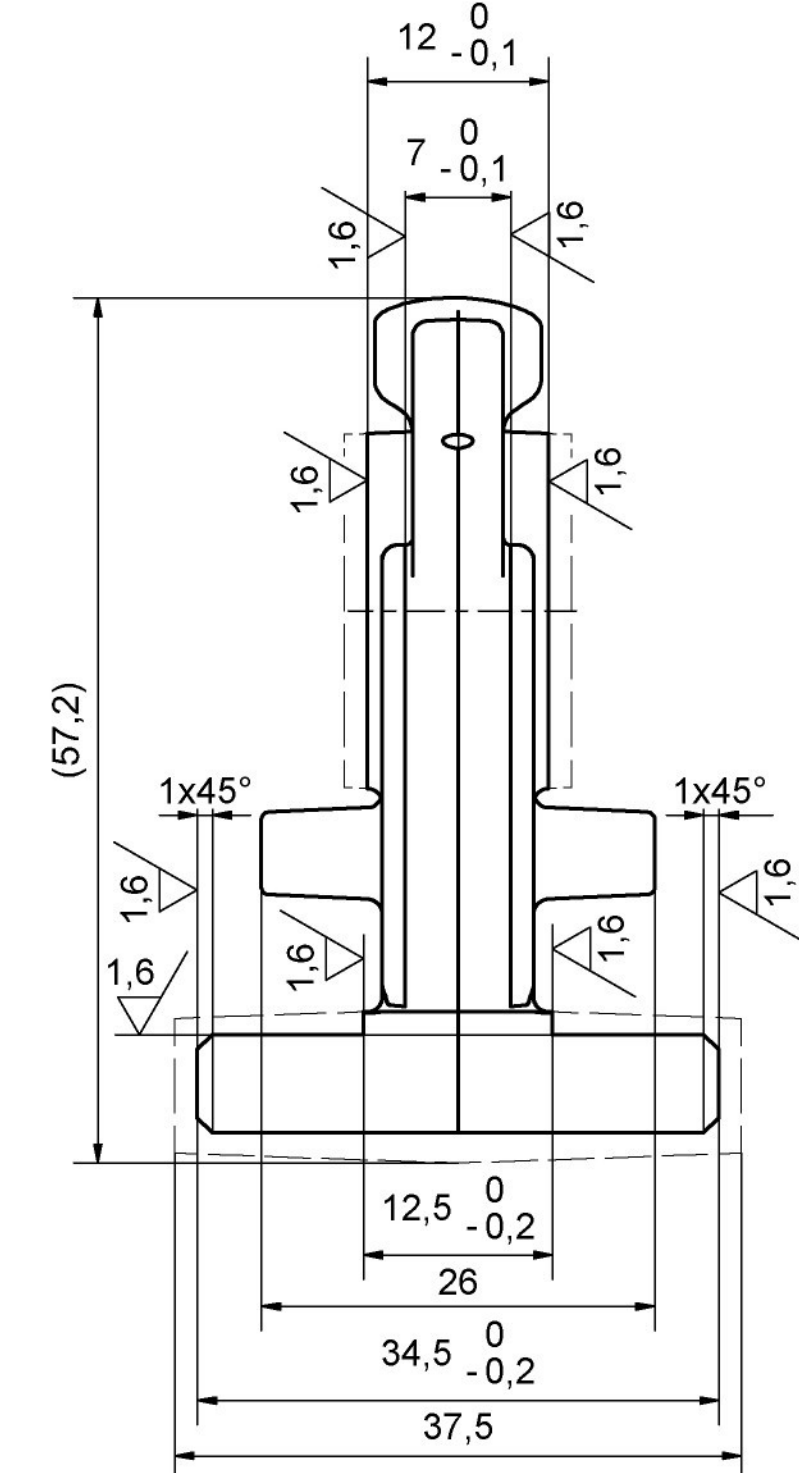
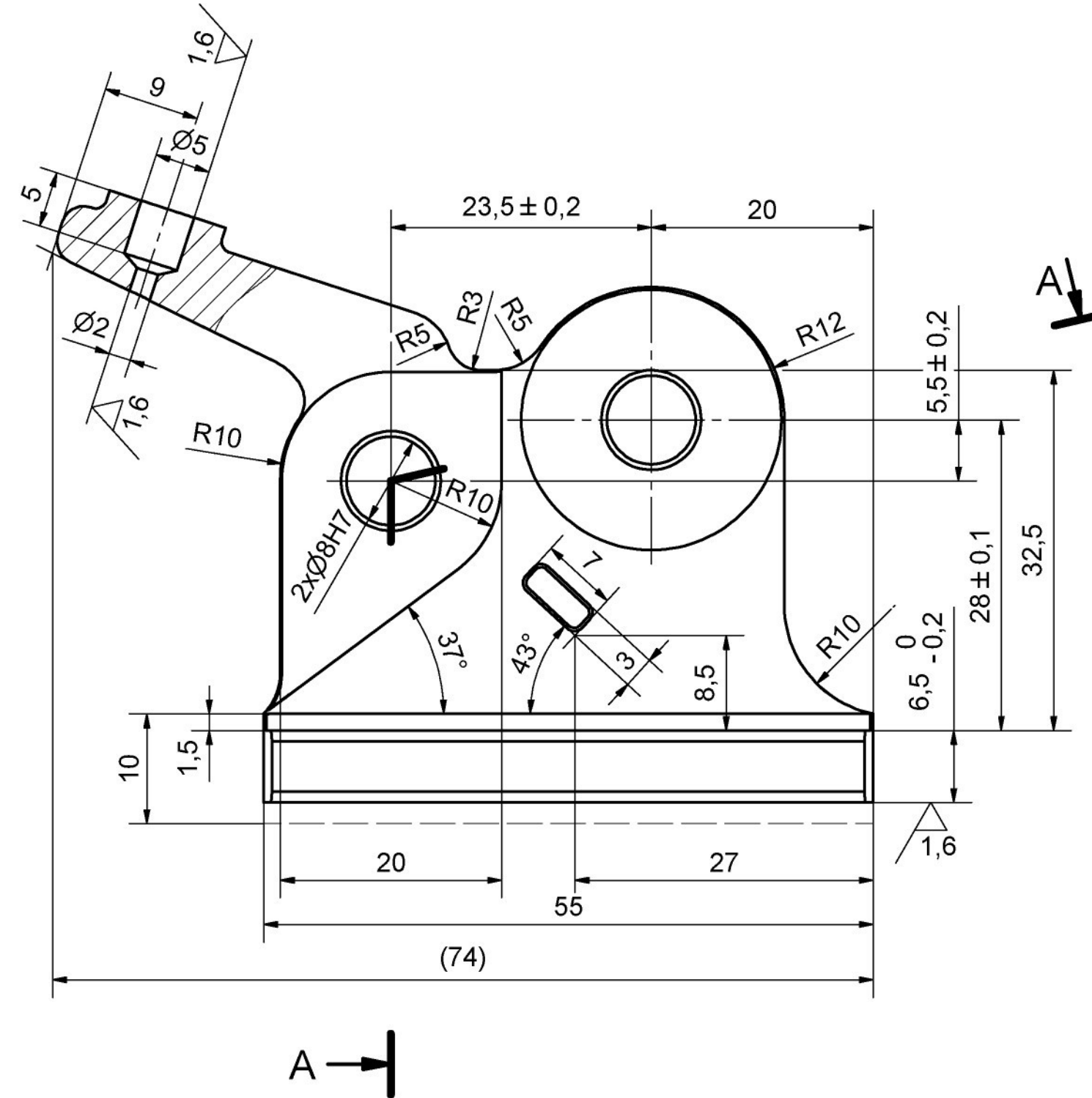
3,2 ✓ (✓)



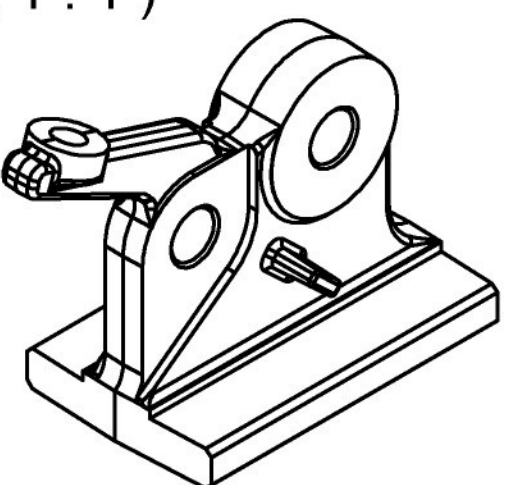
ISO (1/2)



#### NEKÓTOVANÉ RÁDIUSY R1



ISO (1 : 1)



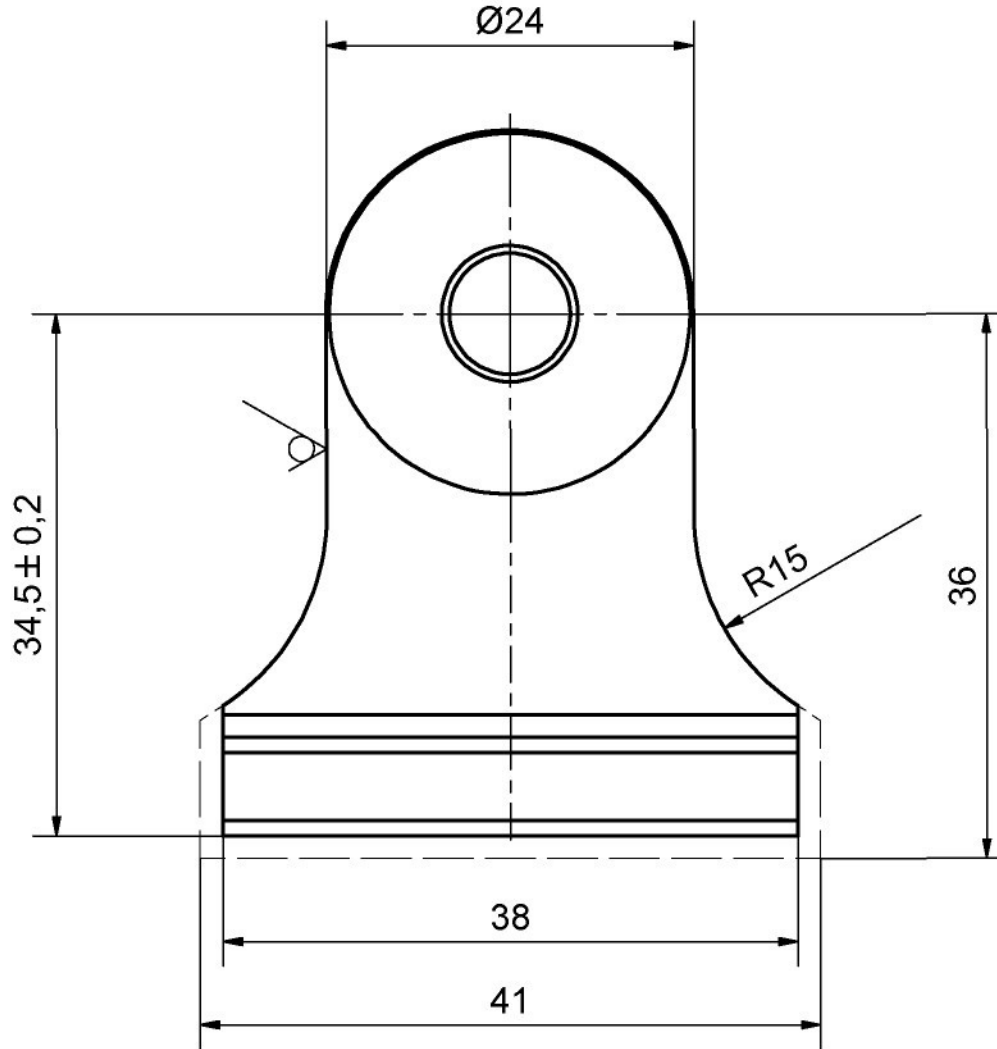
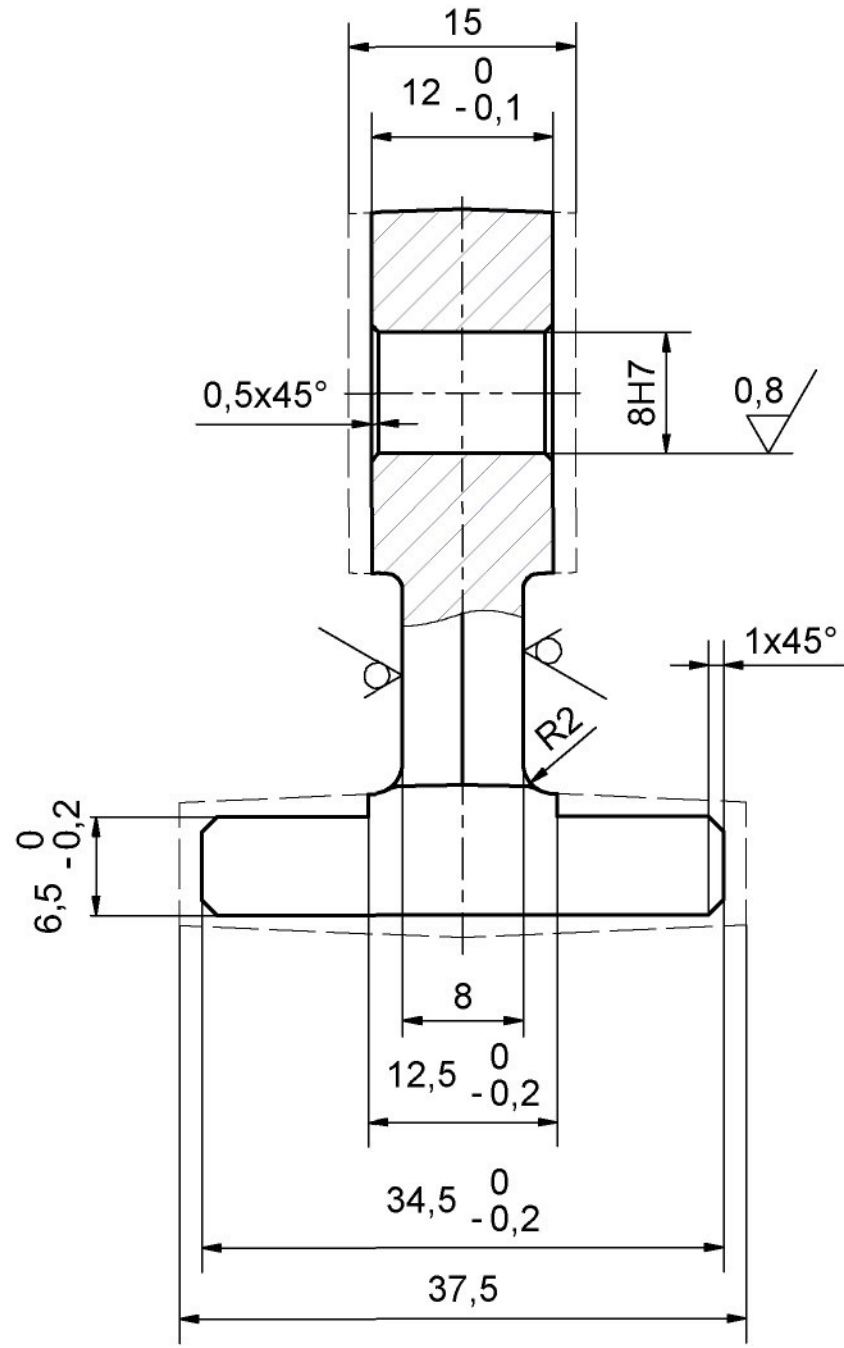
NEOKOTOVANÉ ÚKOSY 2,5°  
NEOKOTOVANÉ RÁDIUSY R1,5  
NEOKOTOVANÁ SRAŽENÍ 0,5x45°

Rozm.-Polot.	VÝTLAČEK				PŘESNOST ISO 2768-mK TOLEROVÁNO ISO 8015 PROMÍTÁNÍ			
	c)	b)	a)		Č. hm.	PA-6	Tf. odp.	
Změna	Datum	Index	Podpisy					
Měřítko	Navrh	JIRÍ SKŘIVAN						
2:1	Kreslil							
	Překoušel							
Č. seznamu	Technolog							
Č. sestavy	Normalizace							
Starý výkres	Schvalil							
Novy výkres	Datum							
	List							

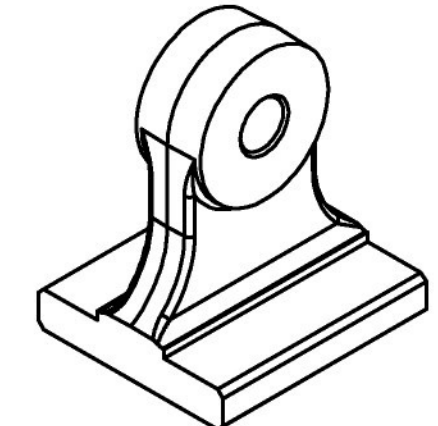
TU v Liberci

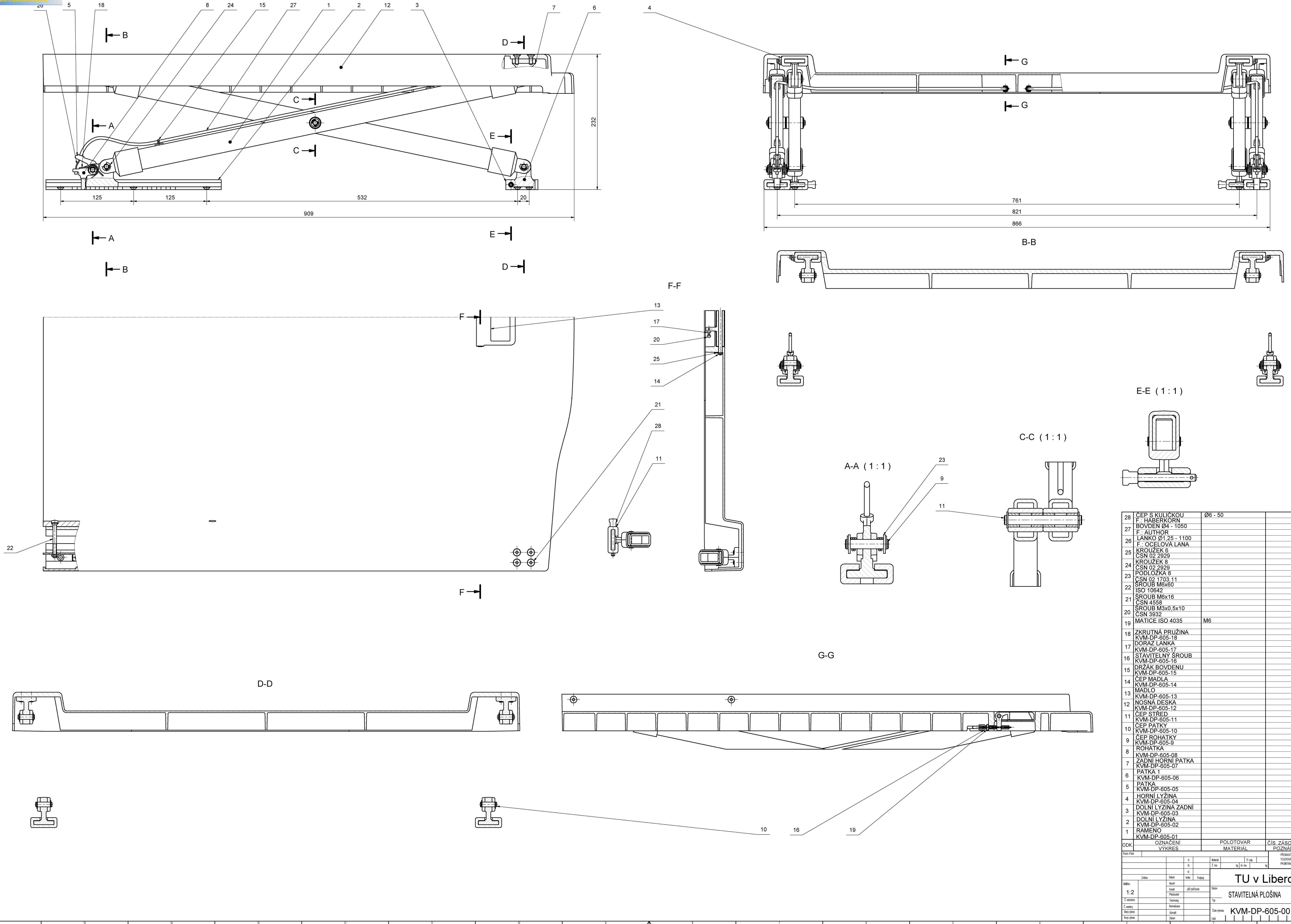
PATKA

KVM-DP-605-05

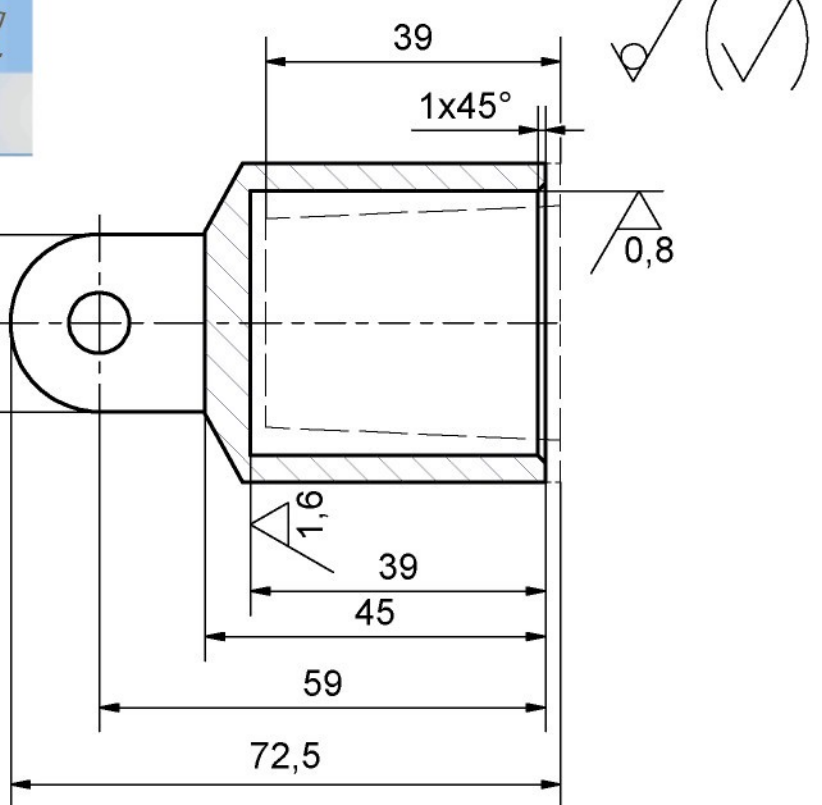
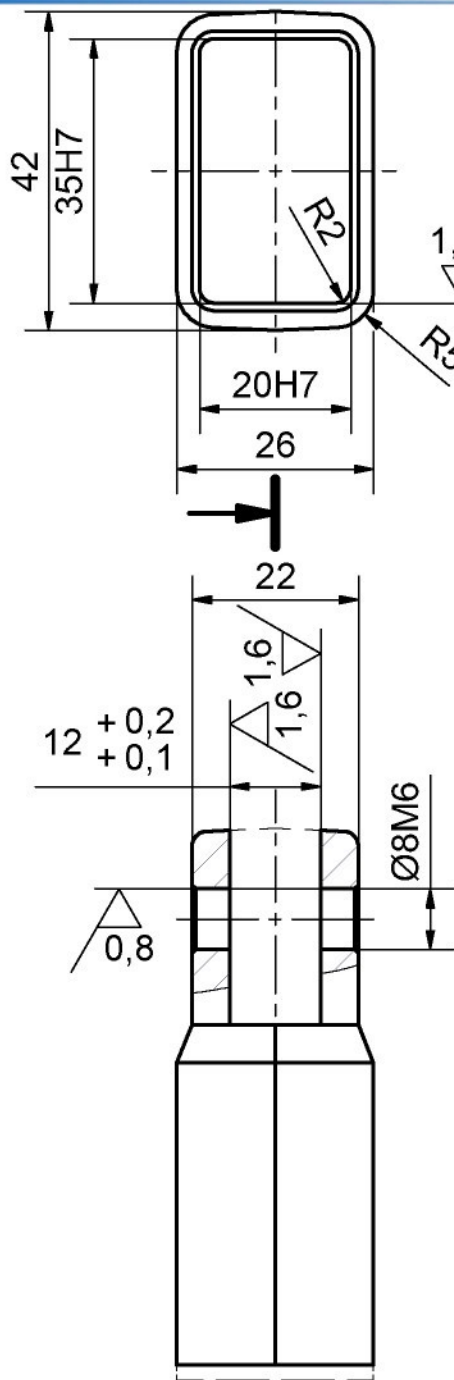


NEKOTOVANÉ SRAŽENÍ 2,5°  
NEKOTOVANÉ RÁDIUSY R1,5

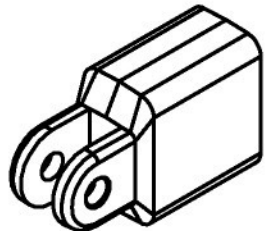




[Click Here to upgrade to  
Unlimited Pages and Expanded Features](#)



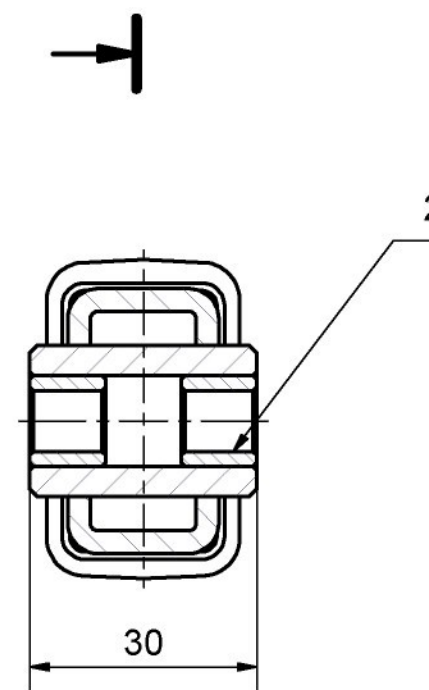
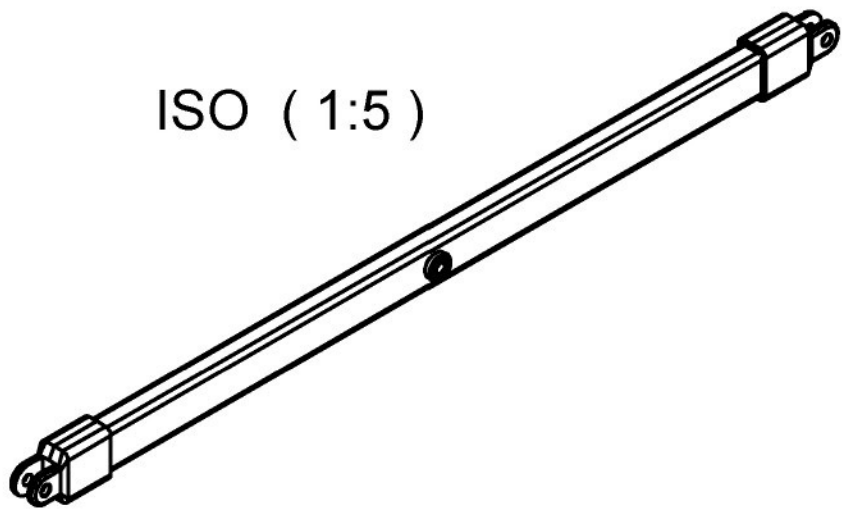
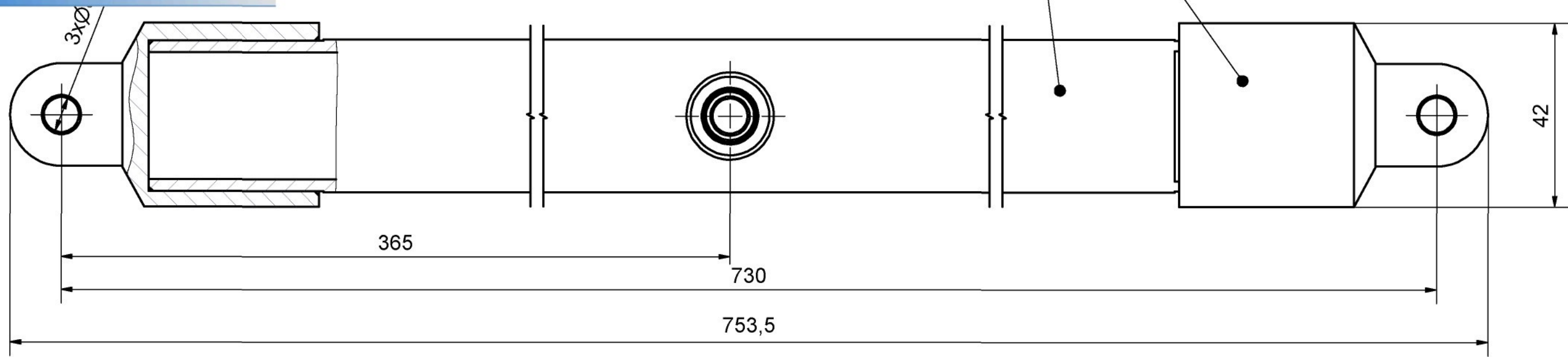
ISO (1 / 2)



NEKOTOVANÉ RÁDIUSY R2; NEKOTOVANÁ SRAŽENÍ 1x45°; NEKOTOVANÉ ÚKOSY 2,5°

Rozm.-Polot.	ODLITEK							PŘESNOST ISO 2768-mK TOLEROVÁNÍ ISO 8015 PROMÍTÁNÍ		
	c)		Materiál	42 4400	Tř. odp.	818	Č. hm.	kg	Hr. hm.	kg
Změna	a)									
Měřítko		Datum	Index	Podpisy						
1:1										
C. seznamu		Technolog								
Č. sestavy		Normalizace								
Starý výkres		Schválil								
Nový výkres		Datum								

**TU v Liberci**  
**POUZDRO**  
**KVM-DP-605-20**



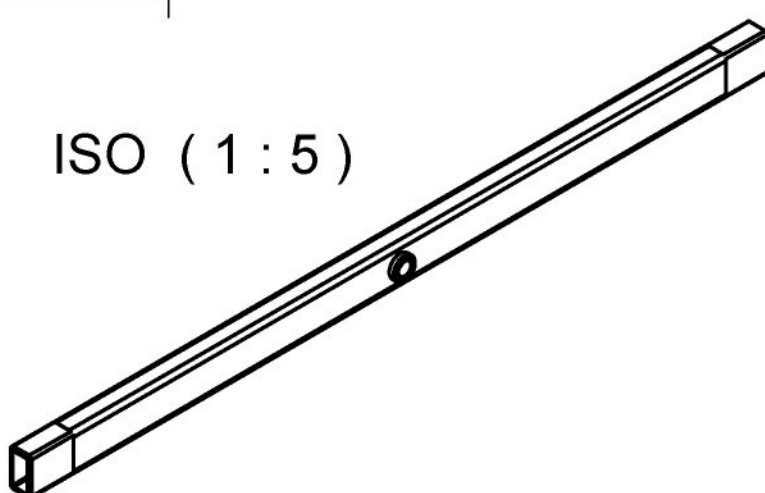
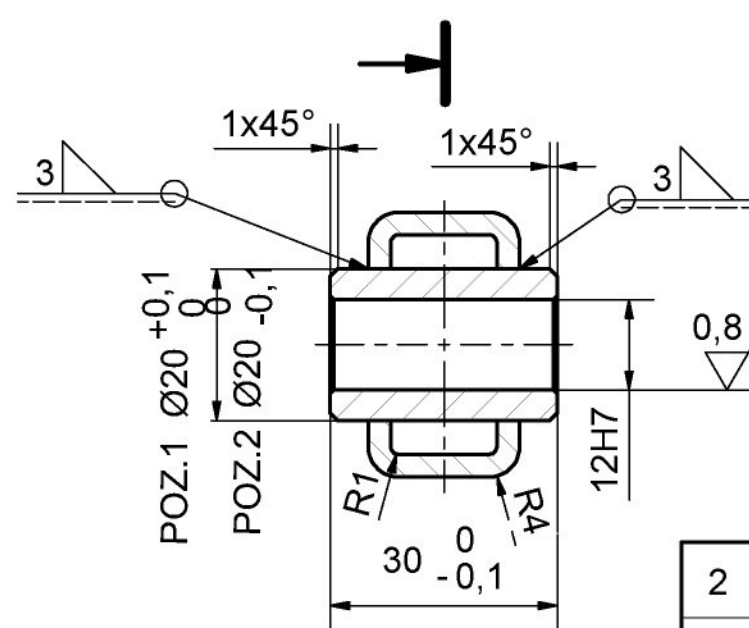
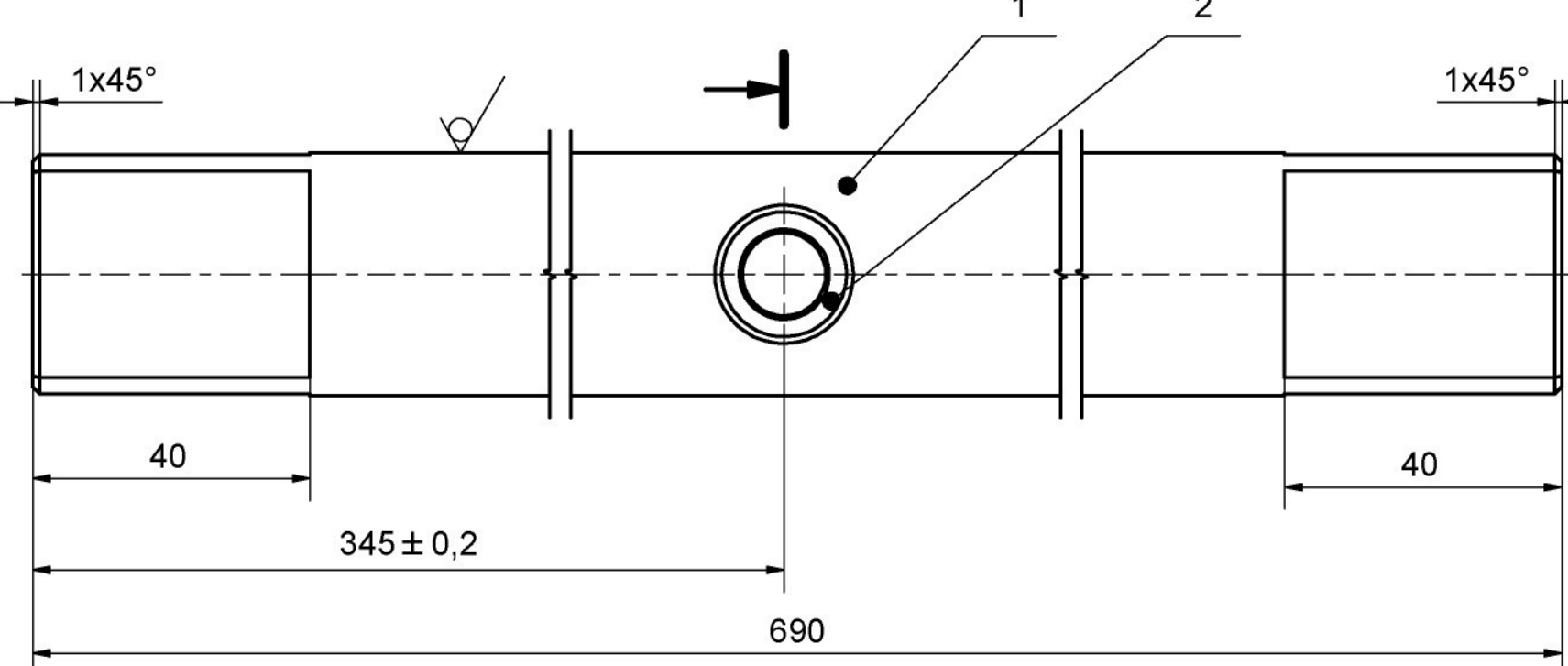
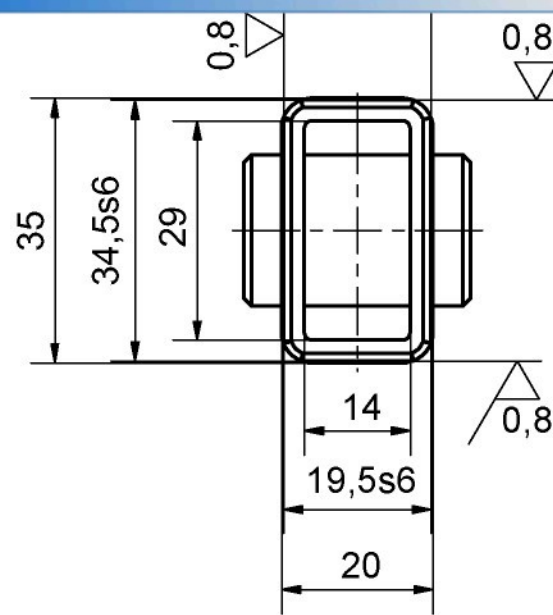
3	POUZDRO KVM-DP-605-20			2
2	KLUZNÉ POUZDRO F.: PLASTOVESOUČASTKY	Ø12x2 - 10		2
1	RAMENO SVAŘENEC KVM-DP-605-19			1
ODK.	OZNAČENÍ VÝKRES	POLOTOVAR MATERIÁL	ČÍS. ZÁSOBNÍKU POZNÁMKA	MN. JED.
	Rozm.-Polot.	c) b) a)	Materiál Č. hm. kg Hr. hm. kg	Tř. odp.
	Změna Měřítko 1:1	Datum Index Navrh Kreslil Přezkoušel		
		Podpisy JIŘÍ SKŘIVAN	Název RAMENO	PŘESNOST ISO 2768-mK TOLEROVÁNÍ ISO 8015 PROMÍTÁNÍ
Č. seznamu	Technolog		Typ	
Č. sestavy	Normalizace		Číslo výkresu	KVM-DP-605-01
Starý výkres	Schválil		Listů	1
Nový výkres	Datum			

TU v Liberci

RAMENO

KVM-DP-605-01

[Click Here to upgrade to  
Unlimited Pages and Expanded Features](#)



1. NEKÓTOVANÁ SRAŽENÍ 0,5x45°

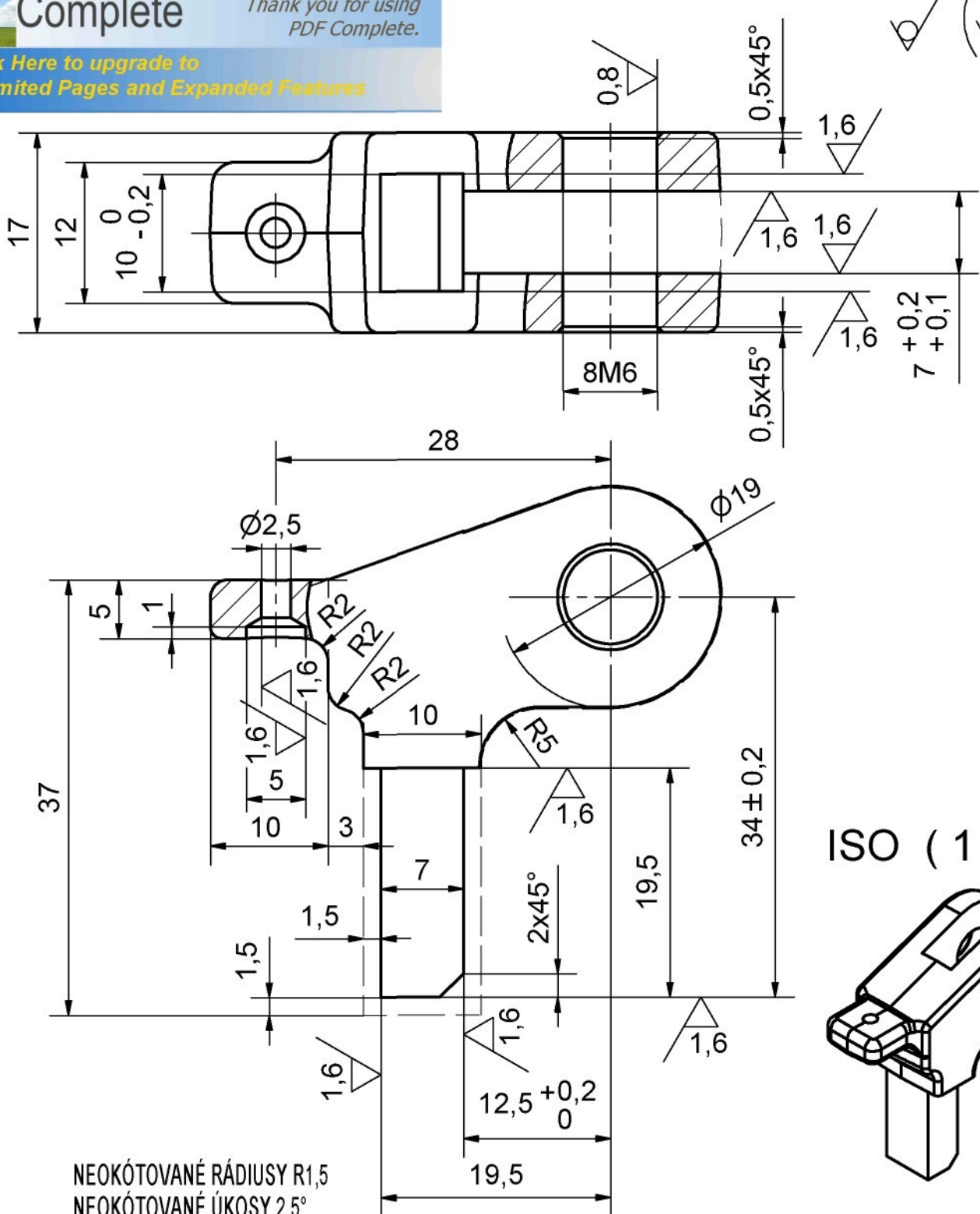
2	TR Ø22x8 - 35	ALUNET		1
1	TR OBD 35x20x3 - 695	ALUNET		1
ODK.	OZNAČENÍ	POLOTOVAR	ČÍS. ZÁSOBNÍKU	MN.
	VÝKRES	MATERIÁL	POZNÁMKA	JED.
Rozm.-Polot.		c)	Materiál	Tř. odp.
		b)	Č. hm.	kg Hr. hm. kg
	a)			
Měřítko	Změna	Datum	Index	Podpisy
1:1				
Č. seznamu		Navrh		Název
Č. sestavy		Kreslil	JIRÍ SKŘIVAN	
Starý výkres		Přezkoušel		
Novy výkres		Technolog		Typ
		Normalizace		
		Schválil		
		Datum		Číslo výkresu
				KVM-DP-605-19
				Listů
				1
				List

1,6 ✓ (✓)

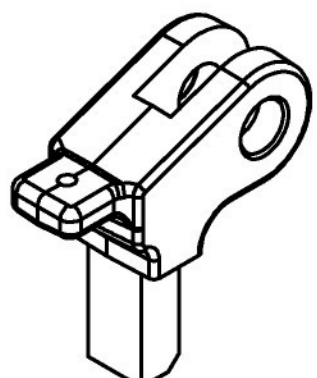
TU v Liberci

RAMENO SVAŘENEC

PŘESNOST ISO 2768-mK  
TOLEROVÁNÍ ISO 8015  
PROMÍTÁNÍ



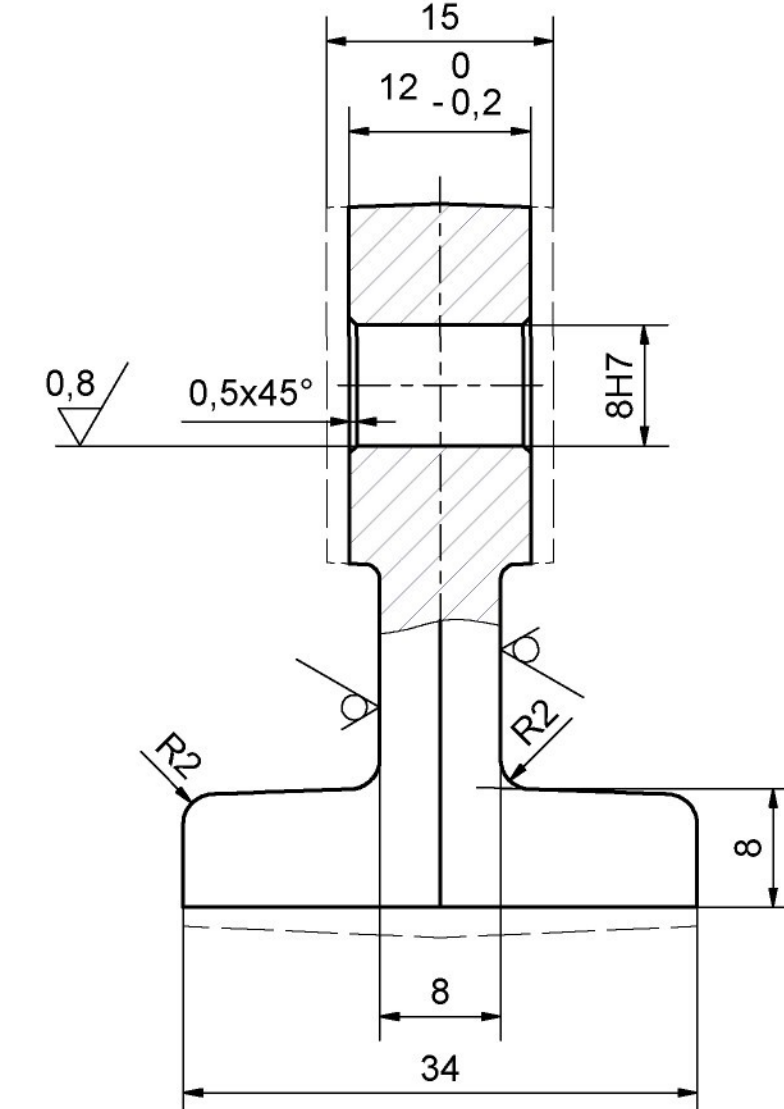
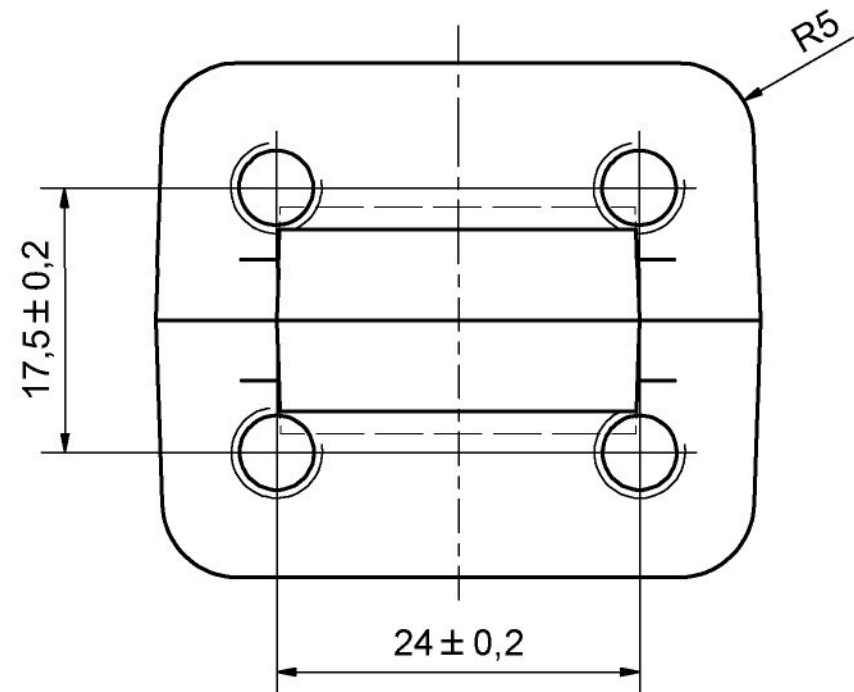
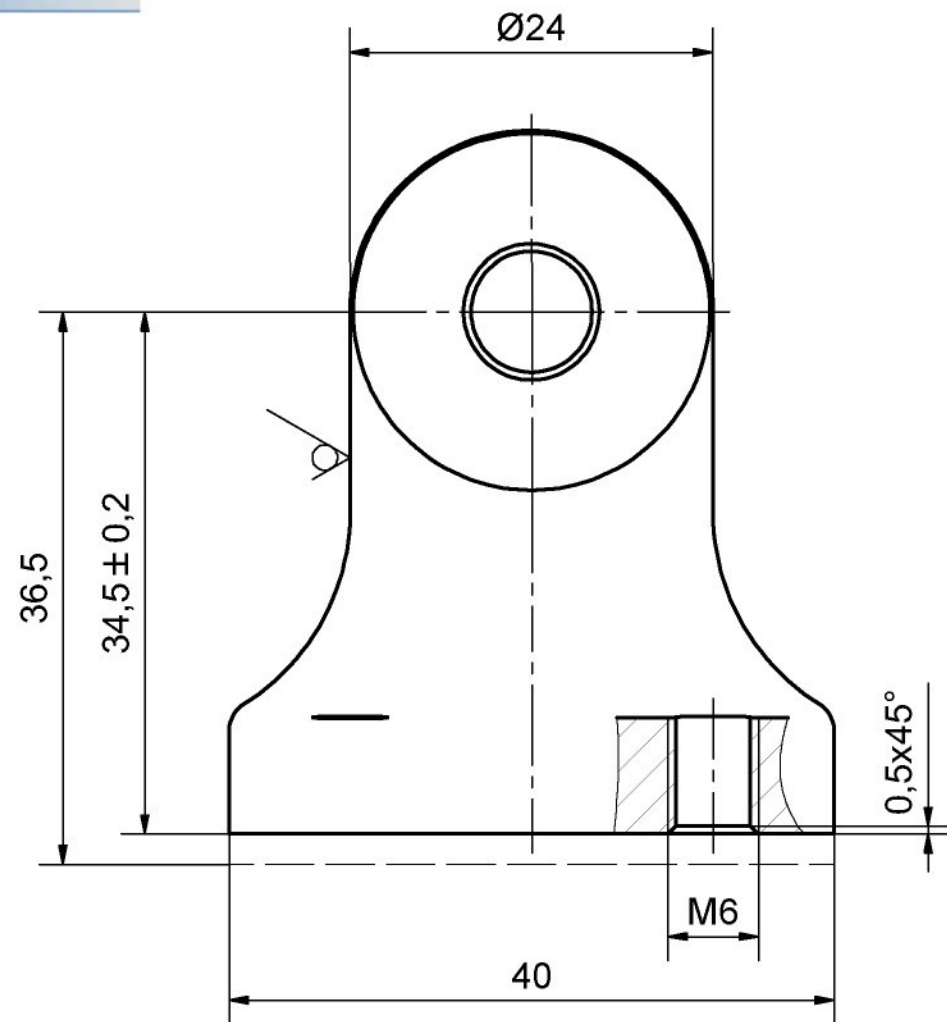
ISO (1 : 1)



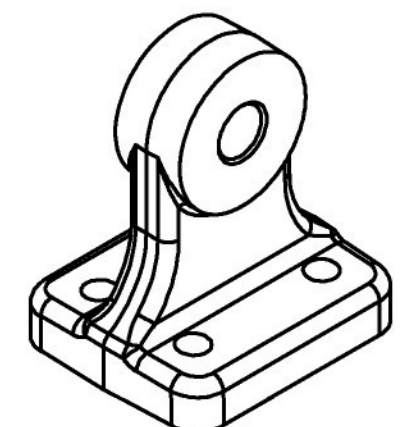
NEOKÓTOVANÉ RÁDIUSY R1,5  
NEOKÓTOVANÉ ÚKOSY 2,5°

Rozm.-Polož.	VÝKOVEK							PŘESNOST ISO 2768-mk TOLEROVÁNÍ ISO 8015 PROMÍTÁNÍ		
	c)		Materiál	11600	Tř. odp.	001	Č. hm.	kg	Hr. hm.	kg
Změna	a)									
Měřítko	Datum	Index	Podpisy							
2:1										
Č. seznamu	Technolog									
Č. sestavy	Normalizace									
Starý výkres	Schvábil									
Nový výkres	Datum									

**TU v Liberci**  
**ROHATKA**  
**KVM-DP-605-08**



NEKOTOVANÉ ÚKOSY 2,5°  
NEKOTOVANÉ RÁDIUSY R1,5



ISO (1 : 1)

Rozm.-Polot.		VÝTLAČEK						PŘESNOST ISO 2768-mK			
		c)	b)		Materiál	PA-6	Tř. odp.	Č. h.m.	kg	Hr. hm.	kg
Měřítko				a)							
2:1				Změna	Datum	Index	Podpisy				
					Navrh						
					Kreslil	JIŘÍ SKŘIVAN		Název			
					Přezkoušel						
Č. seznamu					Technolog			Typ			
Č. sestavy					Normalizace						
Starý výkres					Schválil			Číslo výkresu			
Nový výkres					Datum			Listů			

TU v Liberci

ZADNÍ HORNÍ PATKA

KVM-DP-605-07